

# 1. Základní rovnice v plazmatu a rovinný stav

## 1.1. Úvod

Plazma je komprimované - náhlí  $\vec{e}$  jsou ovlivněny vnějším el. a mag. polem a zároveň k němu přispívají

- náhlí částice (částic mají velký charakter) pohybují se proudem a časem na mnohem kratších intervalech než aplikované pole nebo pole vzniklé vytržením stejného pohybu

Proto musíme udělat nějaká zjednodušení - náhlí  $\vec{e}$  jsou uvažovány nerovně na polích s velkými charakter. měřítky, aby se ušlo rovinné rozdělání rychlosti náhlých částic

↓ přechod přes  
• makroskopické veličiny

- rozdělání rychlosti je zprůměrováno přes rychlosti, aby se ušlo makroscop. pohyb

- makroscop. pohyb se děje v  $\vec{e}$  včetně apl. polí a v makroscop. polích generovaných zprůměrovaným pohybem částic

- tyto self-konzistentní pole nejsou lineární, ale můžeme je linearizovat, především když budeme studovat vlny v plazmatu

pozn. Když si vzpomenele na makroscop. nec, vidíte:

• v makroscop. přechodu postupně variace rozd. fce vedou k makroscop. silám v makroscop. nec.

• - - - - - se náhlí projevují ve tvorbě rámků částic a průměrné síle tření mezi různými typy částic a ve výměně energie mezi nimi

1.2. Maxwell. rovnice, proud, napětí, Lorenz. síla

Maxwell. rovnice ve vakuu:

pro základní veličiny, tedy  $\vec{E}$  a  $\vec{B}$   
(fundamental fields)

$$\begin{aligned} \nabla \cdot \vec{B} &= 0 \\ \nabla \cdot \vec{E} &= \frac{\rho}{\epsilon_0} \\ \nabla \times \vec{B} &= \mu_0 \left( \vec{J} + \epsilon_0 \frac{\partial \vec{E}}{\partial t} \right) \\ \nabla \times \vec{E} &= - \frac{\partial \vec{B}}{\partial t} \end{aligned}$$

pro částečné (partial) veličiny, tedy  $\vec{D}$  a  $\vec{H}$

$$\begin{aligned} \vec{D} &= \epsilon_0 \vec{E}, \quad \vec{B} = \mu_0 \vec{H} \\ \nabla \cdot \vec{H} &= 0 \\ \nabla \cdot \vec{D} &= \rho \\ \nabla \times \vec{H} &= \vec{J} + \frac{\partial \vec{D}}{\partial t} \\ \nabla \times \vec{D} &= - \epsilon_0 \mu_0 \frac{\partial \vec{H}}{\partial t} \end{aligned}$$

celková hustota náboje  $\rho = \rho' + \rho_{pol}$   
celková hustota proudů  $\vec{J} = \vec{J}' + \vec{J}_{pol} + \vec{J}_H$   
polarizace (vázaný náboj)  
magnetizace (vázaný pohyb náboje)

Maxwell. rovnice pro obecný materiál:

$$\begin{aligned} \nabla \cdot \vec{B} &= 0 \\ \nabla \cdot \vec{E} &= \frac{\rho}{\epsilon_0} \\ \nabla \times \vec{B} &= \mu_0 \left( \vec{J} + \epsilon_0 \frac{\partial \vec{E}}{\partial t} \right) \\ \nabla \times \vec{E} &= - \frac{\partial \vec{B}}{\partial t} \end{aligned}$$

celk. náboj  
celk. hustota proudů

$$\begin{aligned} \nabla \cdot \vec{D} &= \rho' \\ \nabla \times \vec{H} &= \vec{J}' + \frac{\partial \vec{D}}{\partial t} \\ \vec{D} &= \epsilon_0 \vec{E} + \vec{P} \\ \vec{B} &= \mu_0 (\vec{H} + \vec{M}) \end{aligned}$$

vektor polarizace  
vektor magnetizace

a platí

$$\begin{aligned} \rho &= \rho' - \nabla \cdot \vec{P} \\ \vec{J} &= \vec{J}' + \frac{\partial \vec{P}}{\partial t} + \nabla \times \vec{M} \end{aligned}$$

Pro lineární izotropní materiál (dielektrikum)

$$\vec{D} = \hat{\epsilon} \cdot \vec{E}$$

dielektr. tenzor

... uvažujeme o plazmatu (musíme přejít k komulativnímu proudění)

Pro -||- izotropní -||-

$$\vec{D} = \epsilon \cdot \vec{E} = \epsilon_r \epsilon_0 \vec{E}$$

relat. permisivita

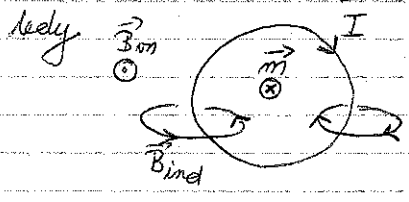
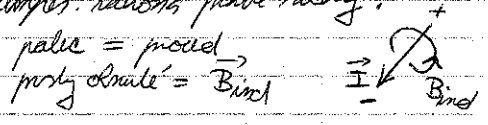
Pro lineární izotropní magnetikum

$$\vec{B} = \mu_0 (1 + \chi_m) \vec{H}$$

relat. permeabilita  
... ale plazma není lineární magnetikum takže se to nezplatí

Proč?

rovněž pole  $\vec{B}_{tot} \approx \vec{B}_0 + \vec{B}_{ind}$   $\Rightarrow$  proudové smyčky, které indukují mg. pole (dle Ampér. zákona právě tak)



uvnitř smyčky protí sm. poli  
venku po směru

mg. dipól

$$jho \text{ mg. moment } |\vec{m}| = I \cdot A = \frac{1}{2} m v \frac{1}{B} = \frac{W_L}{B}$$

$$\vec{m} = - \frac{W_L}{B^2} \vec{B}$$

vektor magnetizace  $\vec{M} = \vec{m} \cdot n \rightarrow$  není  $\propto |\vec{B}|$  ale  $\propto \frac{1}{B^2}$

tedy to není lineární magnetikum

(3)

Maxwell. rovnice doplnuji rovnice kontinuity náboje

$$\frac{\partial \rho}{\partial t} + \nabla \cdot \vec{J} = 0$$

Pro úvahy el. obvodu vyloží se mohou dodat Kirchhoffovy zákony

1. pro proud

$$\text{MR: } \nabla \times \vec{B} = (\vec{J} + \epsilon_0 \frac{\partial \vec{E}}{\partial t}) \mu_0$$

holo normál, proudů, kv. poměrny proud

$$\vec{J}_T = \vec{J} + \epsilon_0 \frac{\partial \vec{E}}{\partial t}$$

učiníme

$$\nabla \cdot (\nabla \times \vec{B}) = \nabla \cdot \vec{J}_T$$

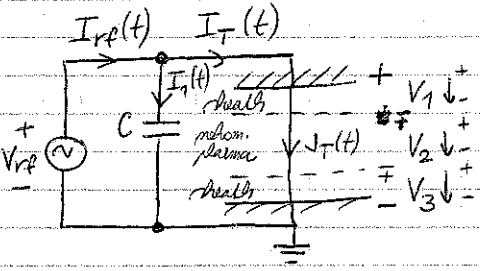
$$0 = \nabla \cdot \vec{J}_T$$

a v jedné dimenzi

$$\frac{dJ_{Tx}}{dx} = 0 \Rightarrow J_{Tx} = J_{Tx}(t) \dots \text{nezávislý na } x$$

=> velk. proud skrz prostor. nelomog. 1D vyloží nezávislý na x a ještě obecněji Kirchhoff. zákon proudů (pro uzel)

$$I_{ref} = I_T + I_1$$



2. pro napětí

Pokud je čas. změna mag. pole zanedbatelná (čas. doř. plazmatu) máme z MR  $\nabla \times \vec{E} = 0 \Rightarrow$  el. pole můžeme zapísat pomocí skalárního potenciálu  $\vec{E} = -\nabla \cdot \phi$

Integrujeme přes uzavř. křivku:  $\oint_C \vec{E} \cdot d\vec{l} = -\oint_C \nabla \cdot \phi \cdot d\vec{l} = -\oint_C d\phi = 0$

=> Kirchhoffův zákon pro napětí  $\sum_i V_i = 0$  po myšlené křivce  $V_{ref} = V_1 + V_2 + V_3$

Potenciální rovnice

pro  $\frac{\partial \vec{B}}{\partial t} = 0 \quad \nabla \times \vec{E} = 0 \Rightarrow \vec{E} = -\nabla \cdot \phi$

derivujeme do  $\nabla \cdot \vec{E} = \frac{\rho}{\epsilon_0} \Rightarrow \nabla^2 \phi = -\frac{\rho}{\epsilon_0}$

$$\nabla^2 \phi = -\frac{\rho}{\epsilon_0}$$

$$\frac{\partial^2 \phi}{\partial x^2} + \frac{\partial^2 \phi}{\partial y^2} + \dots = -\frac{\rho}{\epsilon_0}$$

učiní potenciálu z rovnicí náboje

Lorentzova síla

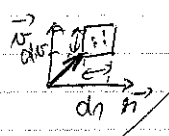
$$\vec{F} = q(\vec{E} + \vec{v} \times \vec{B})$$

velik. náboje připrvají k  $\rho$  a  $\vec{J}$ . Pokud  $\rho$  a  $\vec{J}$  lineárně úměrné  $\vec{E}$  a  $\vec{B}$  pak jsou rovnice pro pole lineární. Toho obecně pro plazma nepatří, ale lineární se může i měnit => vel. vel. děleček. konrd.

1.3. Kinetická teorie plazmatu

1.3.1. BKR

Uvažujeme 6D prostor  $(\vec{r}, \vec{v})$  a na něm rozdělujeme fci  $f(\vec{r}, \vec{v}, t) \dots$  budeme (6 nezávislých momentů) prodepraditelnosti vyloží částice v obj. elementu  $d\vec{r}d\vec{v}$  v čase t



BKR  $\frac{\partial f}{\partial t} + \vec{v} \cdot \vec{\nabla}_r f + \vec{a} \cdot \vec{\nabla}_v f = \left( \frac{\partial f}{\partial t} \right)_{sr}$

v. hod.  $\vec{\nabla}_r = \hat{x} \frac{\partial}{\partial x} + \hat{y} \frac{\partial}{\partial y} + \hat{z} \frac{\partial}{\partial z}$   
 nev.  $\vec{\nabla}_v = \dots$

velikost vel. bezsrážkoví BKR (neboli vlasovova síle)

$$\frac{\partial f}{\partial t} + \vec{v} \cdot \vec{\nabla}_r f + \vec{a} \cdot \vec{\nabla}_v f = 0$$

uvažované obj. elementy a mikrov. vel.  $\vec{v} = \frac{d\vec{r}}{dt}$  pro jednu částici => nezávislé rovnice

5

Jiště bychom mohli do předp. tvaru ln f zahrnout moment hybnosti ( $B \cdot \vec{v}$ ) a dostali bychom Maxwell. rozdělení tepelných rychlostí, tedy pro porovnání driftního rychlosti  $\langle \vec{v} \rangle$

Koeficienty určíme z úvahy - normalizace f  $\iiint f d\vec{v} = n$   
- termodyn. úvahy

$$\frac{1}{2} m \langle v^2 \rangle \cdot n = \frac{3}{2} n k T$$

$$f(v) = n \left( \frac{m}{2\pi k T} \right)^{3/2} e^{-\frac{mv^2}{2kT}}$$

průměrná velikost rychlosti  $\bar{v} = \frac{\int_0^\infty v f dv}{n} = \left( \frac{8kT}{\pi m} \right)^{1/2}$

lok. proud z jedné strany plochy  $\Gamma_+ = \frac{1}{4} n \bar{v} \leftarrow \Gamma_+ = n \langle v_{z+} \rangle$

lok. energie  $S_+ = m \langle \frac{1}{2} m v^2 v_{z+} \rangle$   
 $S_+ = 2kT \Gamma_+ \Rightarrow$  průměrná kin. energie částic přenesená plochou v jednom směru  $E_R = 2kT$

Někdy se hodí definovat rozdělení pomocí jiných proměnných  
map. rozdělení energie  $E = \frac{1}{2} m v^2$

$$4\pi g(E) dE = 4\pi f(v) v^2 dv \quad \frac{dE}{dv} = m v dv$$
$$g(E) = \frac{v(E) f(v(E))}{m}$$

$$\text{kde } v(E) = \sqrt{\frac{2E}{m}}$$

1. hod

Lieberman p. 549

### 1.3.4. ~~... ..~~ Kroskov mříž. člen

Uvažujeme pouze válcové mřížky mezi e<sup>-</sup> a mechatyly:

$$\left( \frac{\partial f}{\partial t} \right)_{\text{coll}} = \int d^3 v_g \int_0^{2\pi} d\phi_1 \int_0^\pi (f' g - f g') v I(v, \theta_1) \sin \theta_1 d\theta_1$$

Kde uvažujeme, že mechatyly jsou nekonečně hmotné, takže  $|\vec{v} - \vec{v}_g| = v = v'$   
a  $f_g = f'_g$ . Rozvedeme el. rovdíl. fci v řádu odchytek od anisotropie,

kladem  $f = f_0 + \frac{v_z}{v} f_1$  (viz fyz. přímaly - Legendroy polynomy):  
kde  $v_z = v \cos \theta$

$$f_e \left( \frac{v_z}{v}, v, \phi, t \right) \approx f_{e0} \left( \frac{v_z}{v}, v, t \right) + \frac{v_z}{v} f_{e1} \left( \frac{v_z}{v}, v, t \right)$$

Lieberman  
mouháje  
závislost na  $\theta$   
ale jen na  $v$

Protože  $v = v' \Rightarrow f_{e1} = f'_{e1}$  a  $f_{e0} = f'_{e0}$ , protože bylo kol. rávení na vel. rychlosti a ta  $v = v'$

$$(f'_e f_g - f_e f'_g) v = f_{e0} f_g v + f_{e1} f_g v_z - f_{e0} f_g v - f_{e1} f_g v_z = f_{e1} f_g (v_z - v_z) \dots \text{viz B.13}$$

~~Pro anisotropní hmotné mechatyly  $v_z = v \cos \theta_1 \sin \theta_1 + v_y \sin \theta_1 \sin \theta_1 + v_x \cos \theta_1$~~

6

3.13) ~~derivative of mass integral~~

$$\left(\frac{d\mathbf{L}}{dt}\right)_m = \int d^3v_g \int_0^{2\pi} d\phi_1 \int_0^\pi (v_x' - v_x) f_{e1} f_g I(v, \theta_1) \sin \theta_1 d\theta_1$$

~~Beve, rchaj na obratni mirenje... Vsega i... Protok... uhel  $\theta_1$  je uhel~~

$\omega \quad |\vec{g}| = |\vec{g}'| = |\vec{v}| = |\vec{v}'|$

↑ ~~nikonecne hmedne mehaniky~~

$$v_x' - v_x = (\vec{v}' - \vec{v}) \cdot \hat{x} = (\vec{g}' - \vec{g}) \cdot \hat{x} = g(\cos \theta_1 - 1) = v(\cos \theta_1 - 1) \cdot \cos \psi$$

$$\left(\frac{d\mathbf{L}}{dt}\right)_m = 2\pi \int f_g d^3v_g \int_0^\pi f_{e1} (\cos \theta_1 - 1) v \sin \theta_1 d\theta_1$$

spodi Billemeerdovi  
Kieberman p. 170  
rde ma jeto  $\cos \psi$ ,  
medee nema pirocni  
ryllot ve smeru  $\hat{x}$

Vepomeneme si, ze ucinny prierez pro pries nos hybridu  $\Sigma_m$  je def.

$$\Sigma_m = \int_0^{2\pi} d\phi_1 \int_0^\pi (1 - \cos \theta_1) I(\theta_1, v) \sin \theta_1 d\theta_1$$

$$\left(\frac{d\mathbf{L}}{dt}\right)_m = 2\pi m g \int f_{e1} (\cos \theta_1 - 1) v \sin \theta_1 d\theta_1$$



$$\left(\frac{d\mathbf{L}}{dt}\right)_m = -m g \cdot f_{e1} \cdot v \cdot \Sigma_m(v) \cdot \cos \psi$$

↓ Billemeerd jeto  
zobranuje lakto

$f_{e1}(\vec{v}', v, t)$

kon. A

dale to mirenje zoberniz  $\cos \psi f_{e1} = f_e - f_{e0}$

~~plotee frame  $\vec{v}$  ve smeru  $\hat{x}$~~   
~~Ucinna  $\cos \psi f_{e1} = f_e - f_{e0}$~~

$$\left(\frac{d\mathbf{L}}{dt}\right)_m = -m g \cdot \underbrace{\Sigma_m(v)}_{\nu_m(v)} \cdot (f_e - f_{e0})$$

... narkova funkce pro pries nos hybridu

ve Fyz. pl. se ma zacatku objevil Kroc's  
relax. ~~met~~ ~~re~~ elem ve rjednoduvrene  
formě

$$\left(\frac{d\mathbf{L}}{dt}\right)_m = -\nu_m \cdot (f_e - f_{e0})$$

↳ neavirde na rjednoduvrene, ale to  
je pulis velke rjednoduvrene

$$dm = -5 m g dx$$

$$\frac{d\Gamma}{\Gamma} = \frac{dm}{m} = -5 g dx$$

$$\Gamma = \Gamma_0 e^{-\frac{x}{\lambda}}$$

$$\lambda = \frac{1}{5 m g}$$

$$\nu = \frac{\lambda}{\tau} = \lambda \cdot \nu$$

$$\nu = \nu \cdot \frac{1}{\lambda} = \nu \cdot 5 m g$$

6

Pro náhledy člen

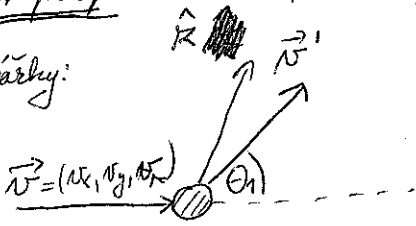
$$\left(\frac{\partial f_e}{\partial t}\right)_{nr} = \int d^3q \int_0^{2\pi} d\phi_1 \int_0^{\pi} f_{e1} f_{g1} (v'_z - v_z) \cdot I(v, \theta_1) \sin \theta_1 d\theta_1$$

ade  $\theta_1 \dots$  rozptyl. úhel  
 $\phi_1 \dots$  úhel roviny náhledy } úhly v souř. dává prostor

Rovný rozděl. fe doradíme do náhled. členu:  $f_e(z, v, \psi, t) = f_{e\phi}(z, v, t) + \frac{v_z}{v} f_{e1}(z, v, t)$

Potřebujeme ještě vyjádřit  $v'_z$ . Pro neelastické hmotné neutrály  $v = v' = g = g'$   
 Nejednoduché, že osa  $\vec{z}$  rotace  $\vec{v}$  (to uvažoval Billemeuier)

rovina náhledy:



Vektor  $\vec{v}'$  je rotace vektoru  $\vec{v}$  - v rovině náhledy!  
 Rotace obrotuje osu  $\vec{z}$   
 $\vec{v} = (v_x, v_{\text{pom}})$   
 $\vec{v}' = (v'_x, v'_{\text{pom}})$   
 $v'_z = v_{\text{pom}} \sin \theta_1 + v_x \cos \theta_1$

$$\begin{pmatrix} v'_{\text{pom}} \\ v'_z \end{pmatrix} = \begin{pmatrix} \cos \theta_1 & -\sin \theta_1 \\ \sin \theta_1 & \cos \theta_1 \end{pmatrix} \begin{pmatrix} v_{\text{pom}} \\ v_x \end{pmatrix}$$

$$v'_z = v_x \cos \phi_1 \sin \theta_1 + v_y \sin \phi_1 \sin \theta_1 + v_z \cos \theta_1$$

integrace přes  $\phi_1$  v  $(0, 2\pi)$  zruší první dva členy a zůstane  $2\pi v_z \cos \theta_1$ :

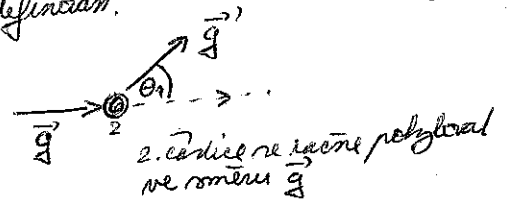
$$\left(\frac{\partial f_e}{\partial t}\right)_{nr} = 2\pi \int f_{g1} d^3q \int_0^{\pi} f_{e1} (\cos \theta_1 - 1) \cdot v_z I(v, \theta_1) \sin \theta_1 d\theta_1$$

$$\left(\frac{\partial f_e}{\partial t}\right)_{nr} = 2\pi \cdot m_g \cdot v_z \cdot \cos \psi \int_0^{\pi} (\cos \theta_1 - 1) \cdot I(v, \theta_1) \sin \theta_1 d\theta_1$$

vzpomeneme si, že účinný průřez pro přenos hybridů  $\sigma_m$  je definován:

$$\sigma_m = \int_0^{\pi} (1 - \cos \theta_1) I(\theta_1, v) \sin \theta_1 d\theta_1$$

pro náhled  $\theta_1$  případ



$$\Rightarrow \left(\frac{\partial f_e}{\partial t}\right)_{nr} = -m_g \cdot f_{e1} \cdot v_z \cdot \cos \psi \cdot \sigma_m(v)$$

$\downarrow$   
 $f_{e1}(z, v, t)$

dále to můžeme zobrazení pomocí

$$\cos \psi f_{e1} = f_e - f_{e\phi}$$

$$\Rightarrow \left(\frac{\partial f_e}{\partial t}\right)_{nr} = -m_g \cdot v_z \cdot \sigma_m(v) \cdot (f_e - f_{e\phi})$$

Ve Fyz. plazmatu se na začátku objevil Kruok. relax. n. člen ve zjednodušené formě:

$$\left(\frac{\partial f_e}{\partial t}\right)_{nr} = -\nu_m \cdot (f_e - f_{e\phi})$$

↳ nezávisle na rychlosti,  
 ale to je příliš velká zjednodušení

náhledová frekvence pro přenos hybridů

$$dm = -m_g \cdot \sigma_m \cdot m \cdot dx$$

$$\frac{dm}{m} = \frac{d\Gamma}{\Gamma} = -\sigma_m m_g dx$$

$$\Gamma = \Gamma_0 e^{-\frac{x}{\lambda} \sigma_m m_g}$$

$$\lambda = \frac{1}{\sigma_m m_g}$$

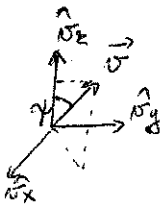
$$\nu = \frac{\lambda}{\tau} = \lambda \cdot \nu$$

$$\nu = \nu \cdot \sigma_m \cdot m_g$$

7) 1.3.5. Kinetická zee pro e<sup>-</sup>

Máme BKR pro náhlý proud - elektrické mezi e<sup>-</sup> a neutrály a el. pole ve směru osy z  $E = (0, 0, E_z)$

$$\frac{\partial f_e}{\partial t} + \vec{v} \cdot \nabla_{\vec{r}} f_e - \frac{e}{m} E_z \frac{\partial f_e}{\partial v_z} = -\gamma_m(v) f_{e1}(z, v, t) \cos \psi$$



$\sqrt{\frac{\partial f_e}{\partial x} = \frac{\partial f_e}{\partial y} = 0}$

$$\frac{\partial f_e}{\partial t} + v_z \frac{\partial f_e}{\partial z} - \frac{e}{m} E_z \frac{\partial f_e}{\partial v_z} = -\gamma_m(v) f_{e1}(z, v, t) \cos \psi$$

připomínáme, že

$$f_e(z, v, \psi, t) = f_{e0}(z, v, t) + \frac{v_z}{v} f_{e1}(z, v, t) \cos \psi$$

$$\frac{\partial f_{e0}}{\partial t} + \cos \psi \frac{\partial f_{e1}}{\partial t} + v \cos \psi \frac{\partial f_{e0}}{\partial v} + v \cos^2 \psi \frac{\partial f_{e1}}{\partial v} - \frac{e}{m} E_z \frac{\partial f_e}{\partial v_z} = -\gamma_m(v) f_{e1} \cos \psi$$

Chceme nahradit  $\frac{\partial f_e}{\partial v_z}$  pomocí  $\frac{\partial f_e}{\partial v}$ . Půjdeme do řad. souř.  $v_x, v_y, v_z \rightarrow v, \psi, \chi$

$$v = \sqrt{v_x^2 + v_y^2 + v_z^2}, \quad \psi = \arccos \frac{v_z}{v}, \quad \chi = \arctan \frac{v_y}{v_x}$$

~~$$\frac{\partial f_e}{\partial v_z} = \frac{\partial f_e}{\partial v} \frac{\partial v}{\partial v_z} + \frac{\partial f_e}{\partial \psi} \frac{\partial \psi}{\partial v_z} + \frac{\partial f_e}{\partial \chi} \frac{\partial \chi}{\partial v_z}$$~~

$$\frac{\partial A(v, \psi, \chi)}{\partial v_z} = \frac{\partial A}{\partial v} \frac{\partial v}{\partial v_z} + \frac{\partial A}{\partial \psi} \frac{\partial \psi}{\partial v_z} + \frac{\partial A}{\partial \chi} \frac{\partial \chi}{\partial v_z}$$

ale  $\frac{\partial f_{e0,1}(z, v, t)}{\partial \psi} = \frac{\partial f_{e0,1}}{\partial \chi} = 0 \Rightarrow \frac{\partial f_{e0,1}}{\partial v_z} = \frac{\partial f_{e0,1}}{\partial v} \cdot \frac{1}{2} \cdot \frac{1}{\sqrt{1 - \frac{v_z^2}{v^2}}} \cdot 2 v_z =$   
 $= \frac{\partial f_{e0,1}}{\partial v} \cdot \cos \psi$

lehčší BKR (B.16)

$$\frac{\partial f_{e0}}{\partial t} + \cos \psi \frac{\partial f_{e1}}{\partial t} + v \cos \psi \frac{\partial f_{e0}}{\partial v} + v \cos^2 \psi \frac{\partial f_{e1}}{\partial v} - \frac{e}{m} E_z \frac{\partial f_{e0}}{\partial v} \cdot \cos \psi - \frac{e}{m} E_z \left[ \frac{\partial v_z}{\partial v} \cdot \frac{f_{e1}}{v} + \frac{\partial}{\partial v} \left( \frac{f_{e1}}{v} \right) \cdot v_z \right] = \frac{\partial f_{e0}}{\partial t}$$

$$= v \frac{\partial}{\partial v} \left( \frac{f_{e1}}{v} \right) \cdot \cos \psi \cdot \cos \psi \cdot v = v \frac{\partial}{\partial v} \left( \frac{f_{e1}}{v} \right) \cos^2 \psi$$

Jako rovnici jednou vynásobíme  $\sin \psi$  a integrujeme  $\int_0^\pi d\psi$  a podruhé

ad1  $\frac{\partial f_{e0}}{\partial t} + \frac{v}{3} \frac{\partial f_{e1}}{\partial v} - \frac{e}{m} E_z \frac{1}{3v^2} \frac{\partial}{\partial v} (v^2 f_{e1}) = 0$  ... dáva čas, změnu izochronní části rozdělání, pokud máme  $f_{e1}$  a rovnání na náhlý proud

ad2  $\frac{\partial f_{e1}}{\partial t} + v \frac{\partial f_{e0}}{\partial v} - \frac{e}{m} E_z \frac{\partial f_{e0}}{\partial v} = -\gamma_m(v) f_{e1}$  ... máme-li  $f_{e0}$  určíme ze náhlý proud čas, změnu anizochronní části rozdělání

8

Podoba rovnice (B.17) vyplývá z úvahy elast. nářečt  $e$  s nekonečně těžkými neutrály, jejichž mají neutrály Maxwell. rozdělení a nejsou nekonečně těžké, objeví se nářečt člen ~~na~~ na pravé straně (B.17):

$$\frac{\partial f_{e0}}{\partial t} + \frac{v}{3} \frac{\partial f_{e1}}{\partial v} - \frac{e}{m} E_z \frac{1}{3v^2} \frac{\partial}{\partial v} (v^2 f_{e1}) = \frac{m}{m+M} \frac{1}{v^2} \frac{\partial}{\partial v} [v^2 \nu_m(v)] \left( f_{e0} + \frac{kT}{m v} \frac{\partial f_{e0}}{\partial v} \right)$$

kde  $T$  je teplota neutráli (B.21)

- 1. člen v rovnice na PS  $\hat{=}$  elastické nářečt energie
- 2. člen  $-v$   $\hat{=}$  menulová teplota plynu

! Oveser Lieberman  
má ravenenos teplotu  
ku  $v$  eV, tedy  
oprot  $T \rightarrow \frac{kT}{e}$

Rovnice (B.18) a (B.17)/(B.21) jsou základní kin. rovnice pro el. rozdel.  $f_{e1}$  v aproximaci  $f_e = f_{e0} + \frac{v}{v_z} f_{e1}$  pokud je anizotropie malá,  $|f_{e1}| \ll |f_{e0}|$  a Coulomb. nářečt jsou zanedbatelne a neuvažujeme nelineární nářečt.

Obecnější plati  
Hollman str. 7

$$\frac{\partial f_{e0}}{\partial t} + \frac{v}{3} \nabla_m \cdot \vec{f}_{e1} - \frac{eE}{3m\omega^2} \frac{\partial}{\partial v} (v^2 \vec{f}_{e1}) = \left( \frac{\partial f_{e0}}{\partial t} \right)_{\text{Coul.}} + \left( \frac{\partial f_{e0}}{\partial t} \right)_{\text{em}} + \left( \frac{\partial f_{e0}}{\partial t} \right)_{\text{inel.}}$$

$$\frac{\partial f_{e1}}{\partial t} + v \nabla_m f_{e0} - \frac{eE}{m} \frac{\partial f_{e0}}{\partial v} = \left( \frac{\partial f_{e1}}{\partial t} \right)_{\text{Coul.}} + \left( \frac{\partial f_{e1}}{\partial t} \right)_{\text{em}} + \left( \frac{\partial f_{e1}}{\partial t} \right)_{\text{inel.}}$$

kde  $f_e = f_{e0} + \frac{v}{v} \cdot \vec{f}_{e1}$  a  $\vec{f}_{e1}$  méri ve směru, v němž  $e$  driftují v důsledku vnějších polí nebo prostorových gradientů

- Oves elastické nářečt a  $m \ll M$   
(tedy  $\frac{m}{m+M} \hat{=} \frac{m}{M}$ )  
 $\left( \frac{\partial f_{e0}}{\partial t} \right)_{\text{em}} = \frac{m}{M} \frac{1}{v^2} \frac{\partial}{\partial v} (\nu_m v^3 f_{e0}) + \frac{1}{v^2} \frac{\partial}{\partial v} (\nu_m v^2 \frac{kT}{M} \frac{\partial f_{e0}}{\partial v})$   
 $\left( \frac{\partial f_{e1}}{\partial t} \right)_{\text{em}} = -\nu_m \vec{f}_{e1}$

- Coulomb. nářečt, kdy interakce  $e-e$  nebo  $e$ -iont se stávají důležitě podle pokud je hustota iontů vysoká. U většiny laboratorn. plazmat je hustota iontů malá ( $< 10^{20}$ ) a Coulomb. nářečt mohou být zanedbány

- Nelineární nářečt přispívají především do rozdělení rychlosti a málo do transportních vlastností elektronů. Proto mohou příslušné členy aproximovány takto

$$\left( \frac{\partial f_{e0}}{\partial t} \right)_{\text{inelad.}} = \sum_i \left[ \frac{v}{v} f_{e0}(\tilde{v}) \nu_i(\tilde{v}) - f_{e0}(v) \nu_i(v) \right]$$

$$\left( \frac{\partial f_{e1}}{\partial t} \right)_{\text{inelad.}} = 0 \rightarrow \text{rychlosti po nářečt}$$

kde  $\frac{1}{2} m v^2 = \frac{1}{2} m \tilde{v}^2 + E_i$   
a nářečt. funkce pro každý proces  $\nu_i = N_i v \sigma_i(v)$

hustota druhého typu částic



10)

ochud fclom rase watorali unálemý tuw a homog. rodit. fci  $\frac{\partial f_{e1}}{\partial t} = 0, \frac{\partial f_{e0}}{\partial x} = 0$   
 ale wóe bez el. pole  $\vec{E} = 0$  a bez neelast. náúik, pak  
 z obecný holálan, rovnice  $\rightarrow$  toto navíc oproti předchozímu

Rěšením rovnice pro  $f_{e0}$  a  $f_{e1}$  v nřímých případech dostaneme níže typy rodit. fci

Hollálan (1.20)  $\frac{\partial f_{e0}}{\partial t} + \frac{v}{3} \nabla_n \cdot \vec{f}_{e1} - \frac{e\vec{E}}{3m\upsilon^2} \cdot \frac{\partial}{\partial \upsilon} (\upsilon^2 \vec{f}_{e1}) = \frac{m}{M} \frac{1}{\upsilon^2} \frac{\partial}{\partial \upsilon} (\upsilon_m \upsilon^3 f_{e0} + \frac{\upsilon_m k T_g}{m} \upsilon^2 \frac{\partial f_{e0}}{\partial \upsilon}) + \sum_i \frac{\tilde{\upsilon}}{\upsilon} f_{e0} \tilde{\upsilon}_i - f_{e0} \tilde{\upsilon}_i$

(1.21)  $\frac{\partial f_{e1}}{\partial t} + \upsilon \nabla_n \cdot \vec{f}_{e1} - \frac{e\vec{E}}{m} \frac{\partial f_{e0}}{\partial \upsilon} = -\upsilon_m \vec{f}_{e1}$

bereme (1.20)

$$0 + 0 + 0 = \frac{m}{M} \frac{1}{\upsilon^2} \frac{\partial}{\partial \upsilon} (\upsilon_m \upsilon^3 f_{e0} + \frac{\upsilon_m k T_g}{m} \upsilon^2 \frac{\partial f_{e0}}{\partial \upsilon})$$

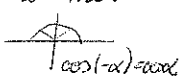
po integraci a :  $\upsilon_m \upsilon^2$

$$\upsilon f_{e0} + \frac{k T_g}{m} \frac{\partial f_{e0}}{\partial \upsilon} = 0$$

a ochud dostáváme Maxwell fci

základně homogenní, izolovaný plazma v přítomnosti vřídavého pole  $\vec{E}_0 e^{-i\omega t}$   
 $(\nabla \cdot \vec{f}_{e1} = 0)$

(1.21) za předpokladu čas. závislosti  $f_{e1} \propto e^{-i\omega t}$  dostaneme  
 $-i\omega \vec{f}_{e1} + \nu_m \vec{f}_{e1} = \frac{e \vec{E}}{m} \frac{\partial f_{e0}}{\partial v}$   $\vec{f}_{e1} \neq \text{Re} \vec{f}_{e1} e^{-i\omega t}$

? znamená u  $-i\omega t$   


$\vec{f}_{e1} = \frac{e \vec{E}}{m(\nu_m - i\omega)} \frac{\partial f_{e0}}{\partial v}$  a vzhledem k tomu  $\vec{f}_{e1} = \frac{e \vec{E}_0}{m(\nu_m - i\omega)} \frac{\partial f_{e0}}{\partial v}$

vrátíme k vříd. mří (1.20). Opět jsou prostorové gradienty rovnou nule ( $\nabla \cdot \vec{f}_{e1} = 0$ )  
 kláme čas. závislost  $f_{e0}$  - Morgenau [3] ukázal, že pro  $\omega \gg \frac{2m}{M} \nu_m$  je čas. změna  
 dráha vlny vřídavé slouže ( $\frac{\partial f_{e0}}{\partial t} = 0$ ). Protože energie přenesená e- atomům  
 plynu přes 1300 fázisů je malá  
 vříd. (1.20) dostaneme vyjádření  $\vec{f}_{e1}$  a rovnici  $\vec{E} \cdot \vec{f}_{e1}$  se bude interpretovat jako  
 vříd. hodnota reálné části  $\vec{E} \cdot \vec{f}_{e1}$

~~$$\frac{1}{2} \frac{\partial}{\partial v} \left[ \nu^2 \frac{e \vec{E}_0}{m(\nu_m - i\omega)} \frac{\partial f_{e0}}{\partial v} \right] + \frac{m}{M} \frac{1}{\nu^2} \frac{\partial}{\partial v} \left[ \nu_m \nu^2 \frac{\partial f_{e0}}{\partial v} \right] + \frac{m}{M} \frac{1}{\nu^2} \frac{\partial}{\partial v} \left[ \frac{\nu_m k T_e}{m} \frac{\partial f_{e0}}{\partial v} \right] + \text{neelast. člen} = 0$$~~

$$\vec{E}_0 \cdot \vec{f}_{e1} = \int_0^{\infty} E_0 e^{i\omega t} \cdot f_{e1} e^{-i\omega t} d(\omega t) = E_0 f_{e1} \int_0^{\infty} \cos^2 \omega t d(\omega t) = \frac{1}{2} E_0 f_{e1}$$

$$\frac{1}{2} \frac{\partial}{\partial v} \left[ \nu^2 \frac{e \vec{E}_0}{m(\nu_m - i\omega)} \frac{\partial f_{e0}}{\partial v} \right] + \frac{m}{M} \frac{1}{\nu^2} \frac{\partial}{\partial v} \left[ \nu_m \nu^2 (\nu f_{e0} + \frac{k T_e}{m} \frac{\partial f_{e0}}{\partial v}) \right] + \text{neelast. člen} = 0$$

reálnou část  $\Rightarrow \frac{1}{2} \frac{\partial}{\partial v} \left[ \frac{e^2 E_0^2 \nu_m \nu^2}{3m^2 (\nu_m^2 + \omega^2)} \frac{\partial f_{e0}}{\partial v} \right] + \dots$

u  $\text{eff}$  efektivní el. pole  $E_{\text{eff}}^2 = \frac{E_0^2 \nu_m^2}{2(\nu_m^2 + \omega^2)}$  a mám

$$-\left[ \frac{e^2 E_{\text{eff}}^2 \nu^2}{3m^2 \nu_m} \frac{\partial f_{e0}}{\partial v} + \frac{m}{M} \nu^2 \nu_m \left( \nu f_{e0} + \frac{k T_e}{m} \frac{\partial f_{e0}}{\partial v} \right) \right] + \text{neelast. člen} = 0$$

ovšem jak mohu dostat vříd. rozdělení, stejnoměrný případ pro  $E_{\text{el}} = E_{\text{eff}}$   
 vříd. jsme dříve a pro člen  $\nu T_e$  rozděl. a  $\nu_m = m g \nu_m$  a  $\nu$  je  
 vříd. nátek dříve vříd. rozdělení  
 vříd. energie e- při elast. náteku  
 vříd. energie e- při náteku s rychlejším neutrálem

Pohud led a obratnějši rovnice vřadíme neled. nářky:

$$\frac{1}{\nu^2} \frac{\partial}{\partial \nu} \left[ \frac{\epsilon^2 E_{\text{eff}}^2 \nu^2}{3m^2 \lambda_m} \frac{\partial \phi}{\partial \nu} + \frac{m}{M} \nu^3 \left( \frac{\partial \phi}{\partial \nu} + \frac{kT_g}{m} \frac{\partial \phi}{\partial \nu} \right) \right] = 0$$

↑  
integrace pak ⇒ vřknu  $\nu^2$  a ~~podělím~~ vřadím  $\frac{M}{\nu^2 \lambda_m}$

$$\Rightarrow \frac{\partial \phi}{\partial \nu} \left( \frac{\epsilon^2 E_{\text{eff}}^2 M}{3m^2 \lambda_m^2} + kT_g \right) + m \nu \phi = 0$$

$$\phi = A \exp - \int_0^\nu \frac{m \nu d\nu}{kT_g + \frac{\epsilon^2 E_{\text{eff}}^2 M}{3m^2 \lambda_m^2}}$$

Morganauova vředění

Pohud el. pole je dostatečně velká, měříme čten,  $\nu$   $kT_g$  zanedbat a pro  $\downarrow$  funkce  $\omega^2 \ll \nu_m^2$

aproximujeme

$$E_{\text{eff}}^2 = \frac{E_0^2 \nu_m^2}{2(\nu_m^2 + \omega^2)} \approx \frac{E_0^2}{2}$$

$$\phi = A \exp - \int_0^\nu \frac{m \nu d\nu}{\frac{\epsilon^2 E_0^2 M \nu_m^2}{2 \nu_m^2 \cdot 3m^2 \lambda_m^2}}$$

$$\phi = A \exp - \int_0^\nu \frac{m \nu d\nu}{\frac{\epsilon^2 E_0^2 M}{6m^2 \lambda_m^2}}$$

... aprox, vředění Morganauova vředění

Pro  $H_0, H$   $\sigma_m(\nu) \approx \frac{1}{\nu} \Rightarrow \nu_m$  neváží na vřelosti

$$\phi = A \exp \left( - \frac{m \nu^2}{2} \cdot \frac{6m^2 \lambda_m^2}{\epsilon^2 E_0^2 M} \right)$$

což má podobu Maxwell. pro

$$kT_e = \frac{\epsilon^2 E_0^2 M}{6m^2 \lambda_m^2}$$

↓  
3. hodina

Pro  $\sigma_m$  neváží na vřelosti  $\Rightarrow \nu_m = m_g \nu \sigma_m$  integrujeme

$$\frac{6m^2 m_g^2 \sigma_m^2}{\epsilon^2 E_0^2 M} \int \nu^3 d\nu = \frac{6m m_g^2 \sigma_m^2}{\epsilon^2 E_0^2 M} \left( \frac{\nu^2}{2} \right)$$

$$\phi = A \exp - \left[ \left( \frac{m \nu^2}{2} \right) \frac{6m m_g^2 \sigma_m^2}{\epsilon^2 E_0^2 M} \right]$$

Druhy Morganauova vředění (což přetvářelo druh. vřed. pro slabší pole se líní faktor 2x, protože  $E_0^2 = 2 \cdot E_{\text{eff}}^2$  ale pro de  $E_{\text{dc}}^2 = E_{\text{eff}}^2$ )

Obrázek (dodávan 1.2) ukazuje rozdíl mezi Maxwell. a Druryev. rozdělením pro stejnou střední energii  $\langle \epsilon \rangle$ ; Druryev. dělá rychleji

vyjádření pro v obrázku  $\langle \epsilon \rangle = \frac{3}{2} kT$

$$f_{\text{maxw}}^{(\epsilon)} = n \left( \frac{m}{2\pi kT} \right)^{3/2} e^{-\frac{\epsilon}{kT}} \cdot \sqrt{\frac{2\epsilon}{m^3}} =$$

$$= A \langle \epsilon \rangle^{-3/2} \cdot \epsilon^{1/2} e^{-\frac{3}{2} \frac{\epsilon}{\langle \epsilon \rangle}}$$

Proteže ~~na~~ <sup>exponenciálně</sup> rozdíl uvažující nářky (tedy  $\nu_m$ ) se vyjde  $E_0/\nu_m^2$  a  $\nu_m \sim m_0 \nu_p$  je důležitý poměr  $E_0/p$ .

Exponenční rozdíl typu "Maxwell" a Druryev. jsou ve tvaru  $e^{-\frac{3}{2} \frac{\epsilon}{\langle \epsilon \rangle}}$  a  $e^{-\frac{0.5}{\langle \epsilon \rangle^2}}$

takže  $\langle \epsilon \rangle$  je funkce  $E_0/p$  ... redukovaná intenzita el. pole

Margenau a Druryevskyn. rozděl. jsou řešení BKR pro slabá el. pole, u kterých můžeme zanedbat neeloničské nářky. V uhlíčeném výboji to ovšem může být platit!

Měli bychom BKR řešit včetně neelonič. nářků  $\rightarrow$  numerické metody:  
Výpočty pro  $H_2$  pláma se zahrnutím neelonič. nářků + náhodné binární coulombické nářky (elonič. nářky  $e^- + H_2$  zanedb. protože jde o malou ztrátu energie)  
 $\hookrightarrow$  ale pouze  $e^- - e^-$  ( $e^-$  iont zanedb. - " - elektron)

Obrázek (dodávan 1.3) ukazuje výpočet pro  $E/p = 28.3 \text{ V/cm Torr}$  a nízkou ionizaci  $\frac{n}{N} = \frac{n}{N}$ . Pro mezní  $\frac{n}{N} = 1.67 \times 10^{-7}$  se rozdíl blíží maxwellovskému (vzhledem k výměně energie coulomb. m.  $e^- - e^-$  je výšší než kinet. energie od el. pole).  
Pro  $E/p = 48.9 \text{ V/cm Torr}$  je situace podobná - viz Obr. 1.5  
Všimněte si, kde leží energie 1. excitované hladiny a kde ionizační energie!

14 1.4 Malno-rychlejší rovnice pro ~~plazmu~~ jeden typ částic

1.4.1 ~~První~~ rovnice kontinuity - zachování částic  
 zde o <sup>(multy)</sup> nejvyšším momentu BKR - všechny členy se integrují přes rychlostní prostor:

$$\frac{\partial m}{\partial t} + \nabla \cdot (m \vec{u}) = G - L$$

pro elektron. rovnici: "gain of particles" ... obvykle díky ionizaci při srážce elektron-  
 - neutrální  $G = \nu_{iz} n_e$   
 "loss of particles" ... odebíráme úbytky částic díky rekombinaci  
 jsou často zanedbatelné

Kromě m rovnice obsahuje rovnámcou  $\vec{u} \Rightarrow$  potřebujeme další rovnici

1.4.2 Pohybová rovnice - zlevení ~~hybnosti~~ hybnosti

Už jsme získali rovnici pro  $\vec{u}$  vytvoříme 1. moment BKR - vynásobíme  $\vec{u}$  a integrujeme přes rychlosti:

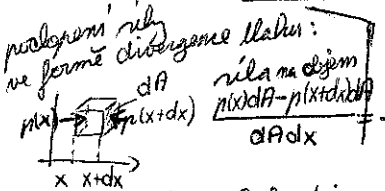
$$m n \left[ \frac{\partial \vec{u}}{\partial t} + (\vec{u} \cdot \nabla) \vec{u} \right] = q n (\vec{E} + \vec{u} \times \vec{B}) - \nabla \cdot \hat{P} + \underbrace{\vec{A} - m \vec{u} (G-L)}_{\text{náhledný člen } \int v \left( \frac{\partial v}{\partial t} \right) d^3v}$$

$\frac{D \vec{u}}{D t}$  ... konvekční derivace  $\hat{=}$  změna  $\times$  rychlostí  
 1. člen je rychlostí díky explicitní změně  $\vec{u}$   
 2. člen - " " i pro rotaci proudění kapaliny  $\frac{\partial \vec{u}}{\partial t} = 0$   
 která má prostorové gradienty  
 např. proud  $\vec{u} = \hat{x} u_x(x)$  a rychlostí podél x je  
 kapalinou podél x vychylována

tlak Na pravé straně jsou silové členy. Mezi ně patří i divergence tlakového tenzoru  $-\nabla \cdot \hat{P}$  (divergence lokální hybnosti)

$$\hat{P}_{ij} = m n \langle (v_i - u_i)(v_j - u_j) \rangle_{\vec{v}} \text{ - průměrování rychlosti přes } f(\text{rozděl. } f_i)$$

Pro slabě ionizované plazma je kromě vždy možné použít izotropní formu



$$\hat{P} = \begin{pmatrix} p & 0 & 0 \\ 0 & p & 0 \\ 0 & 0 & p \end{pmatrix} \text{ a tedy } \nabla \cdot \hat{P} = \nabla p$$

zde skalární tlak je  $p = \frac{1}{3} m n \langle (v-u)^2 \rangle$

Pokud je plazma charakterizováno nedílným kapalným pohybem ve směru  $\parallel a \perp$  na  $\vec{B}$  (x pohyb v mg. pole, víme že tento případ & může nastat)

$$\hat{P} = \begin{pmatrix} p_{\perp} & 0 & 0 \\ 0 & p_{\parallel} & 0 \\ 0 & 0 & p_{\parallel} \end{pmatrix} \text{ pro } \vec{B} \parallel \text{ox}$$

nediagonální členy představují viskozitu - lokální hybnosti v jednom směru jiným směrem: je křivě kapalinu lze např. ve směru ox x, ale tento lok. má gradient ve směru oy y, pak je x-ová hybnost je přenášena ve směru y, a ~~obz. se pohybuje~~ tam kde se kapalinou pohybuje pomaleji - je nutná ji zrychlit.

Pokud je měřítko gradientu rychlosti  $L \gg \lambda_c$  (poloměr cyklotronového pohybu) jsou nediagonální členy  $\hat{P}$  menší než diagonální ~~členy~~ minimálně jeden řád  $\frac{m_e}{L}$ .

knihka Goldstone 1995

Gravitovaný člen představuje ~~trans~~ rychlost přenosu hybnosti na jednotk. objem v důležitus nářek s jinými částicemi. Pro  $e^-$  nebo  $\oplus$  ve slabě ioniz. plazmatu je nejdůležitější transfer v důležitus nářky s neutrálem.

$\int v \left( \frac{\partial f}{\partial t} \right)_{\text{net}} d^3v = - \sum_{\beta} m_{\alpha} m_{\beta} \nu_{\alpha\beta} (\bar{u}_{\alpha} - \bar{u}_{\beta}) - m_{\alpha} \bar{u}_{\alpha} (G-L)$

nářk. funkce pro přenos hybnosti  
kvar rychlost k loaru krook. nářk.  
členu odvozeno pro nářky  $e^-$  - neutrální

člen spojený se změnou hybnosti v důležitus nářky / pohyb částic je často malý

(pro laboratorní slabě ioniz. pl.)  
Obvyklý tvar rovnice zachování hybnosti: pro pomalé časové změny, rekonstrukční členu  $(\bar{u} \cdot \nabla) \bar{u}$  a mg. síly,  $\bar{u}_{\beta} = 0$  v krook. členu pro nářky s jedním typem neutrální, zanedb. přípustus venik / ránik a isotropní tlak

$$0 = qnE - \nabla p - mm \nu m \bar{u}$$

pro rychlé časové změny musíme na levé straně uvažovat člen  $mm \frac{\partial \bar{u}}{\partial t}$

Rovnice kontinuity a zachování hybnosti stále mohou uvažovaný systém, protože  $\hat{P}$  (nebo skalární tlak  $p$ ) není určeno.

Obvyklý postup uvažování = použití termodynam. stavové rovnice, která dává vztah mezi  $p$  a  $n$ .

- Izotermický vztah pro rovnovážné Maxw. rozdělení a tedy  $p = nkT$   
 $\nabla p = kT \nabla n$

Toto platí pro pomalé časové změny, kdy se teploty vyrovnávají. V tomto případě si kapalina může vyměňovat energii s okolím a potřebujeme ještě rovnici zachování energie (viz kap. 1.4.3), abychom určili  $p$  a  $T$

- alternativně můžeme použít adiabatickou stavovou rovnici  $p = C n^{\gamma}$   
a tedy  $\frac{\nabla p}{p} = \gamma \frac{\nabla n}{n}$

kde  $\gamma$  je poměr specifického tepla při konst. tlaku a při konst. objemu

$$\gamma = \frac{c_p}{c_v}$$

Pro ideální plyn  $\gamma = \frac{5}{3}$  dvojně  $\gamma = \frac{2+N}{N}$   
Pro 1D adiab. pohyb  $\gamma = 3$  N... počet stupňů volnosti

Adiabatic. rovnice platí pro rychlé časové změny, jako např. vlny v plazmatu, když si kapalina nestíhá vyměňovat energii s okolím => rovnice zach. energie není třeba (změny jsou rychlejší než tok tepla)

Pro širší vztahy analýzy plazmatu použijeme izoterm. stav. rovnici (v rámci labor. plazmat pro materials processing) když el. výboji

Goldston Vztah  $p = C n^{\gamma}$  vlastně popisuje izoterm. i adiabatic. změny, protože pro  $\gamma = 1$  jde o  $p = C \cdot n$  tedy  $p = kT \cdot n$  izotermický děj!  
konstanta

1.4.3 Rovnice zachování energie pro 1 typ částic (Lieberman)  
 dokončíme jako 2. moment BKR - vynásobíme  $\frac{1}{2} m v^2$  a zintegrujeme přes  $v$

$$\frac{\partial}{\partial t} \left( \frac{3}{2} \rho \right) + \nabla \cdot \frac{3}{2} (\rho \vec{u}) + \rho \nabla \cdot \vec{u} + \nabla \cdot \vec{q} = \left. \frac{\partial}{\partial t} \left( \frac{3}{2} \rho \right) \right|_{sr.}$$

$\frac{3}{2} \rho$  je hustota energie  $\{J/m^3\}$   
 $\frac{3}{2} \rho \vec{u}$  je makroskop. tok energie  $\{W/m^2\}$  představující tok vnitřní energie  
 drift. rychlosti kapalin  $\vec{u}$   $\{W = \frac{J}{s}\}$   
 $\rho \nabla \cdot \vec{u}$   $\{W/m^3\}$  dávat ohřev nebo ochlazení kapalin  
 kvůli kompresi nebo expanzi jeho objemu  
 $\vec{q}$  je tok tepla  $\{W/m^2\}$  představující makrosk. tok tepla  
 náěk. člen: vlnění náěk. procesy, které mění hustotu energie (ionizace,  
 excitace, elastický rozptyl, smíšený ohřev).

Rovnice energie je často uvažována poležením  $\nabla \cdot \vec{q} = 0$   
 nebo  $\vec{q} = -\kappa_T \nabla T$ ,  
 kde  $\kappa_T$  je tepelná vodivost

Pro většinu ustálených výbojů je makroskop. tok energie zanedbateln  
 náěk. procesy, takže  $\nabla \cdot \left( \frac{3}{2} \rho \vec{u} \right) = \left. \frac{\partial}{\partial t} \left( \frac{3}{2} \rho \right) \right|_{sr.}$

1.4.4 Gousson makroskop. rovnice popisující  $e^-$  nebo iont. kapalinu, výbojů  
 v el. výbojích

Nejpřesnější forma pro el. výboje:

ne kontinuální  
 pohyb, ne  
 izolovan. stav. ne

$\nabla \cdot (m \vec{u}) = \nu_{iz} m n_e \rightarrow$  ! zde  $m_e$  i pro ionty  
 ionizace =  $e^- +$  neutral  
 $m n \frac{d\vec{u}}{dt} = q m \vec{E} - \nabla p - m n \nu_m \vec{u}$   
 $p = m k T$

ne ~~základ~~ zach. energie  $\nabla \cdot \left( \frac{3}{2} \rho \vec{u} \right) = \left. \frac{\partial}{\partial t} \left( \frac{3}{2} \rho \right) \right|_{sr.}$

Tyto rovnice platí pro oba typy nabíjených částic, přičemž elektr. ~~základ~~  
 hustota náboje a proud  $\vec{j} = e (Z m_i n_i - m_e n_e)$   
 $\vec{j} = e (Z m_i n_i - m_e n_e)$

vychází z Maxwell. rovnic.

=> stále je velmi těžké rovnice vyřešit bez zjednodušení  
 18 neznámých  $n_i, m_e, \rho_i, \rho_e, T_i, T_e, \vec{u}_i, \vec{u}_e, \vec{E}$  a  $\vec{B}$  (6+4.3=18)

### 1.5 Boltzmannův vztah

Máme odvodit důležitý vztah pro hustotu  $e^-$  v tepelné rovnováze v  $\nabla \cdot \vec{u} = 0$  (neprůtok) v plazmatu, na které působí prostorově proměnný potenciál. Pokud není drift  $e^-$   $\vec{u}_e \equiv 0$  pak je člen  $\vec{u} \cdot \nabla \vec{u}$  inerciální, mg. a člen  $(\vec{A}) = 0$  a z pohybov. rovnice dostáváme pro  $e^-$

$$E = -\nabla\varphi, \quad n_e = n_0 e^{-\frac{e\varphi}{kT_e}}$$

↑  
použijí stav. rovnice pro rovnováhu

$$\Rightarrow -e n_e \nabla\varphi + kT_e \nabla n_e = 0$$

$$\nabla (e\varphi + kT_e \ln n_e) = 0$$

konst

neboli  $n_e(\vec{r}) = n_0 e^{-\frac{e\varphi(\vec{r})}{kT_e}}$

Tedy elektrony jsou "přitahovány" do míst s kladnějším nábojem.

Pro kladné ionty v tepelné rovnováze s teplotou  $T_i$

$$n_i = n_0 e^{-\frac{e\varphi}{kT_i}}$$

a tedy jsou "odpuštěny" z míst s kladnějším nábojem.

! ale  $\oplus$  nejsou v kl. rovnováze s  $e^-$  nikdy v tepelné rovnováze, protože  $\vec{u}_i$  je  $\uparrow$ , takže musíme uvažovat inerciální člen  $\vec{u} \cdot \nabla \vec{u}$  nebo člen, který jsou normálně s  $e\vec{E}$  nebo gradientem tlaku

### 1.6. Debyeova délka a kvazineutralita plazmatu

4. hodina ↓

1.7 Magnetohydrodynamika <sup>je plazma</sup> jako jednu <sup>ne</sup> vodivou kapalinu (Goldston ch. 115) (single-fluid equations) (tedy magnetohydrodynamika, resp.)

- používá se pro popis plně ionizované plazmy (mnoho astrofyz. plazmat a kontrolována termojaderná fúze) - na toto téma je mnoho knih ~~o~~ např. Introduction to Plasma Physics od R.J. Goldston, P.R. Rutherford 10P 1995
- na plazma se tedy nahlíží jako na jednu kapalinu, na kterou působí el. a mag. síly = magnetohydrodynamický (MHD) model
- historicky to byl jeden z prvních modelů plazmatu, protože využíval mnoho přístupů klasické hydrodynamiky.
- Konkrétní rovnice MHD se mohou lišit podle použitého zjednodušení, ale existují určité typické sady rovnic

1.8.1. MHD rovnice

- úplně ionizované plazma
- pro zjednodušení uvažujeme vodivou plazma => (+) ionty náboj +e (ale ~~plně~~ můžeme uvažovat i z - a máme obecnější případ)
- přibližně plněná Maxwellova rovnice  $m_i \approx m_e \approx m$ , ale připsáváme malou hmotnost náboje  
-> pro potrokovou škálu  $\gg \lambda_D$

Magnetohydrodynamika ~~je~~ považuje plazma za jednu kapalinu s

- hmotností  $\rho_m = m_i M + m_e m \approx m(M+m) \approx m \cdot M$
- hmotností náboje  $\rho = (m_i - m_e) \cdot e$  // Goldston označuje  $\sigma$
- střední rychlostí kapaliny (rychlost hmotnosti)  $\vec{u} = \frac{m_i M \vec{u}_i + m_e m \vec{u}_e}{\rho_m} \approx \frac{M \vec{u}_i + m \vec{u}_e}{M+m} \approx \vec{u}_i + \frac{m}{M} \vec{u}_e$
- hmotností proudu  $\vec{j} = e(m_i \vec{u}_i - m_e \vec{u}_e) \approx m_e (\vec{u}_i - \vec{u}_e)$

Tyto rovnice můžeme využít k vyjádření  $\vec{u}_i$  a  $\vec{u}_e$  pomocí  $\vec{u}$  a  $\vec{j}$

$$\vec{u}_i \approx \vec{u} + \frac{m}{M} \frac{\vec{j}}{m_e} \quad \vec{u}_e \approx \vec{u} - \frac{\vec{j}}{m_e}$$

kde jsme zanedbali členy, které jsou určité malé díky  $\sqrt{\frac{m}{M}}$ .

MHD rovnice řešíme k lineárních kombinací individuálních magnetohydrodynamických rovnic pro ionty a elektrony:

a) individuální rovnice kontinuity  $\frac{\partial n_{i,e}}{\partial t} + \nabla \cdot n_{i,e} \vec{u}_{i,e} = 0$   
 vynásobíme hmotnostmi M a m a sečteme

$$\frac{\partial \rho_m}{\partial t} + \nabla \cdot (\rho_m \vec{u}) = 0$$

takže dostáváme "rovnici zachování hmotnosti"

kde nemusí uvažovat nulu, abych ne získali rovnici mls, mls, protože

$$\sum_{\alpha} S_{\alpha} \cdot m_{\alpha} = 0$$

hmotnost rovnice směřel

b) individualní rovnice kontinuity vyvážíme náboji e a -e a sečteme

$$\frac{\partial \rho}{\partial t} + \nabla \cdot \vec{j} = 0$$

"rovnice kontinuity proudu"

mam místo  
D obou reí kontinuity  
pro e a + obě rovnice  
pro volnou kapalinu

c) podobně můžeme postupovat pro polybovou rovnici

$$M m_i \frac{D \vec{u}_i}{Dt} = e m_i (\vec{E} + \vec{u}_i \times \vec{B}) - \nabla p_i + \vec{A}_{ie}$$

$$m m_e \frac{D \vec{u}_e}{Dt} = -e m_e (\vec{E} + \vec{u}_e \times \vec{B}) - \nabla p_e + \vec{A}_{ei}$$

ktelé sečteme a dostáváme "polybovou rovnici pro volnou kapalinu"

$$\rho_m \frac{D \vec{u}}{Dt} = \rho_m \left( \frac{\partial \vec{u}}{\partial t} + \vec{u} \cdot \nabla \vec{u} \right) = \rho \vec{E} + \vec{j} \times \vec{B} - \nabla p$$

protože  $\vec{A}_{ie} = -\vec{A}_{ei}$  ... přenos hybridní z i → e a z e → i  
 $-M m_i \gamma_{ie} (\vec{u}_i - \vec{u}_e) = -m m_e \gamma_{ei} (\vec{u}_e - \vec{u}_i)$  musí splňovat z.z.H

$$M m_i \gamma_{ie} = m m_e \gamma_{ei}$$

Zbytek ovšem není tak jednoduchý. Ukazuje se, že pokud  $\vec{u}$  je střední rychlost celé kapaliny  $\vec{u} = \frac{m_i M \vec{u}_i + m_e m \vec{u}_e}{m_i M + m_e m}$

a  $\vec{p}$  je tlak definovaný pomocí tepelné rychlosti kolem  $\vec{u}$   $\vec{p} = \sum_{\alpha} \rho_{m\alpha} \langle \vec{v}_{\alpha} \vec{v}_{\alpha} \rangle$   
 pak po složitějších úpravách rovnici (c) skutečně dostáváme (viz Billemeurd).  
 $\vec{v}_{\alpha} = \vec{v}_{\alpha} - \vec{u}$

pozn.

Přibližně ovšem také platí, že  $\vec{u} \approx \vec{u}_i$  a e se tepelně pohybují ~~to~~ rychle ve normální i jakoukoliv střední rychlosti, takže v definici tlaku bych v případě + i e měla uvážit střední hodnotu kolem  $\vec{u}_i$ . Pak je jasné, že rovnici (c) mohu získat jednoduše sečtením obou polb. reí pro + a e.

d) druhou rovnici z polybových rovnic dostáváme aproximativním zapsáním pohyb. reí pro e jakožto byla rovnice pro celou kapalinu:

- nejprve vyjádříme člen přenosu hybridní z iontů na e pomocí parametrů celého předzmatku  $(m, \vec{j})$

$$\vec{A}_{ei} = -m m_e \langle \gamma_{ei} \rangle (\vec{u}_e - \vec{u}_i) = - \frac{m \langle \gamma_{ei} \rangle}{m_e e^2} \cdot m_e^2 e^2 (\vec{u}_e - \vec{u}_i) = - \frac{1}{\sigma_0} m_e e \cdot \vec{j}$$

$\gamma_{ei}$  závisí na rychlosti e ale zde by to už měla být střední hodnota přes rozdělení rychlosti e

hde  $\sigma_0$  je vodivost bez přítomnosti mg. pole nebo podíl  $\vec{B}_1$  kde vliv  $\vec{B}$  na pohyb e není  $\sigma_0 = \frac{m e^2}{m \langle \gamma_{ei} \rangle}$

toho jsme ukázali minulý rok

- zanedbáme relativnost  $e^-$ , tedy u něj člen  $\rho_m \frac{D\vec{u}}{Dt}$ , a podobně jako u  $\vec{A}_{ei}$  nahradíme v pohyb. mri  $m_e \approx m$ .

$\Rightarrow 0 = -em(\vec{E} + \vec{u}_e \times \vec{B}) - \nabla p_e + \frac{me}{\epsilon_0} \vec{j}$  |: e.m

dosadíme přibližný vztah pro  $\vec{u}_e \approx \vec{u} - \frac{\vec{j}}{ne}$  (viz začátek Kapitoly 1.7.1)

$\Rightarrow E + \vec{u} \times \vec{B} - \frac{\vec{j} \times \vec{B}}{ne} = \frac{\vec{j}}{\epsilon_0} - \frac{\nabla p_e}{e.m}$

$$\vec{E} + \vec{u} \times \vec{B} = \frac{\vec{j}}{\epsilon_0} + \frac{\vec{j} \times \vec{B} - \nabla p_e}{e.m}$$

"zobecněný Ohm. zákon"

pozn. minulý rok jsme postupovali o něco korektněji vzhledem ke měrným zanedbáním a dostali jsme podobný vztah

$$\vec{E} + \vec{u} \times \vec{B} = \frac{m}{m_e^2} \frac{\partial \vec{j}}{\partial t} + \frac{\vec{j}}{\epsilon_0} + \frac{\vec{j} \times \vec{B} - \nabla p_e}{e.m}$$

proto člen navíc - tedy pro vzdálené podmínky  $\frac{\partial \vec{j}}{\partial t} = 0$  máme stejnou mri

pozn proč se tomu říká Ohmův zákon?

pro  $\nabla \cdot \rho_e = 0$  mám  $\vec{j} = \epsilon_0(\vec{E} + \vec{u} \times \vec{B}) - \frac{\epsilon_0}{e.m}(\vec{j} \times \vec{B})$   
 a to už vypadá podobně jako  $\vec{j} = \epsilon_0 \vec{E}$ , tedy známý Ohmův zákon Hallův jev

pozn

jestliže je důležitější relativní mezi vodiči / odporem  $\parallel$  a  $\perp$  k  $\vec{B}$  můžeme

žít skalár  $\eta = \frac{m \langle \sigma_{ei} \rangle}{m_e^2}$  nahrazen tenzorem  $\begin{pmatrix} \eta_{\perp} & \eta_{\parallel} \end{pmatrix}$  protože  $\langle \sigma_{ei} \rangle$  bude jiné ve směru  $\parallel$  a  $\perp$  mri  $\vec{B}$

e) Abychom získali kompletní sadu rovnic musíme přidat nějakou rovnici "energie"  
 Nejjednodušší stavová rovnice, která popisuje jak se v čase mění  $\mu$

nejpřesnější adiabatická

(nezmění se křivka  $\sigma$  chvilom a změna křivosti jen v důsledku komprese / expanze)  
 nebo izotermická

viz dříve:  
 $\frac{d}{dt} \left( \frac{\mu}{m^{\gamma}} \right) = 0 \Rightarrow \frac{d}{dt} \left( \frac{\mu}{\rho^{\gamma}} \right) = 0$

$\mu = mk(T_e + T_i)$  kde  $T_e, T_i = \text{konst}$

nejpřesněji mi vyjde jednodušší jak přijít od jedné rovnice stav. ne k druhé

$\mu$  (MHD jevy)  
 = komprese / expanze je rychlejší než tepelná vodivost

$\mu = \frac{\mu_0}{3}$  pro 3D plyn, když plyn v němž komprese / expanze je pomalejší než náležitý vzrůstající energie mezi vlnami třemi směry (MHD jevy)

$\mu = \frac{N+2}{N} !$

Pro MHD jevy, které jsou rychlejší než náčky, a ~~vedou~~ k anisotropii:  
 || a  $\perp$  měřny jsou reparované,  $T_{||}$  se měří efektivně rozdílov (N=1,  $\mu=3$ )  
 zatímco  $T_{\perp}$  nikoliv (N=2,  $\mu=2$ ).

pro  $\mu_{\perp}$  obzvláště odvodili obecnější dráhové rovnice pro anisotropní případ použijeme adiabatickou invarianci magnetického momentu v silném mg. poli

$$|\vec{m}| = \frac{W_{\perp}}{B} = \text{konst} \quad (\text{pro magnetické měřny B uvažují cyklotrony malé ve normání s velikostí } \vec{B} \dots \text{ adiab. aprox.)}$$

vyjádříme  $\mu_{\perp} = m k T_{\perp} = m k \frac{1}{2} m \langle v_{\perp}^2 \rangle = m k B \langle |\vec{m}| \rangle$

pokud je komprese rychlá ve normání se srážkami ale pomalá ve normání s  $\perp$  frekvencí cyklotr.  $|\vec{m}|$  se zachovává

$$\frac{d}{dt} \left( \frac{\mu_{\perp}}{m k B} \right) = 0 \Rightarrow \frac{d}{dt} \left( \frac{\mu_{\perp}}{m B} \right) = 0$$

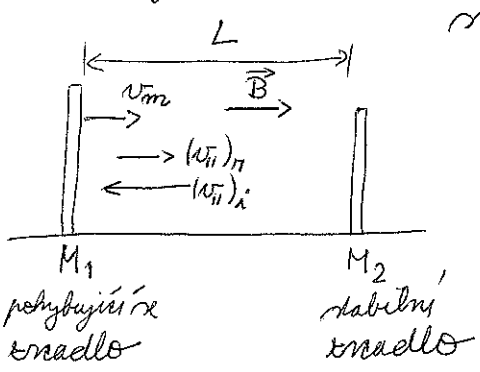
pozn. Pro případ číle  $\perp$  komprese (typický důhy  $\uparrow B$ ) platí zachování částe a mg. toku ~~plochy A~~, jak se plocha plazma A (cross section) mění  $\Rightarrow m \cdot A = \text{konst}$   $B \cdot A = \text{konst} \Rightarrow n \propto B$  a v tabz nahore je  $\frac{d}{dt} \left( \frac{\mu_{\perp}}{m^2} \right) = 0$  tedy klasická adiabatic. rce pro  $\mu=2$  (2D adiabatic komprese)

pro  $\mu_{||}$

Podobně vyjádříme  $\mu_{||} = m k \frac{1}{2} m \langle v_{||}^2 \rangle$   
 a zase potřebujeme vyjádřit rychlost pomocí nějakého invariantu.  
~~komprese~~ jde o tzv. podélný adiabatic. invariant (Billmeurdt s. 81) nebo drubý -||- (Goldston s. 58)

odvození podle Billmeurta:

Uvažujeme částici pohybující se mezi dvěma mg. zrcadly mezi nimiž osciluje. Uvažujme, že vzdálenost těchto zrcadel se pomalu s časem mění ve normání s  $\perp$  dobou oscilace.



U limto periodickým pohybem částice mezi dvěma body, jejichž vzdálenost se pomalu mění, je asociovaný adiabatic. invariant (podélný / drubý) definovaný

$$J = \oint \vec{v} \cdot d\vec{l} = \oint v_{||} dl$$

integrovaný přes jednu periodu oscilace tam a zpět.

jednoduchý důkaz invariance J: podle obr., uvažujme  $\vec{B}$  homog. poli ve směru osy z (vyjma bodů kolem  $M_1, M_2$ ). Uvažujme publikování zrcadla  $M_1$  rychlostí

$$v_m = - \frac{dL}{dt} \quad (\text{minus protože } L \downarrow \text{ s časem})$$

Průp.  $v_m \ll v_{||} \Rightarrow$  vzdálenost, o kterou se zrcadlo pohne během jedné periody oscilace je malá ve normání s  $\perp$  L.

23

Prostředí  $\vec{B}$  je homogenní,  $v_{II} = \text{konst}$  (zanedbáme malý efekt u zrcadel).

Pak  $J = \int_0^{2L} v_{II} dl = 2v_{II}L$

Čárová změna  $J$  je  $\frac{dJ}{dt} = 2v_{II} \frac{dL}{dt} + 2L \frac{dv_{II}}{dt} = -2v_{II}v_m + 2L \frac{dv_{II}}{dt}$

Musíme vyjádřit  $\frac{dv_{II}}{dt}$ :  $\frac{dv_{II}}{dt} = \frac{\Delta v_{II}}{\Delta t} = \frac{\Delta v_{II}}{(\frac{2L}{v_{II}})}$ , kde

$\Delta v_{II}$  zm. změna rychlosti za periodu oscilace mezi zrcadly  $\Delta t = \frac{2L}{v_{II}}$  (při odrazu od pohybujícího se zrcadla!)  
Abychom našli  $\Delta v_{II}$ , přejdeme do rychlého souř. pohybujícího se s  $M_1$  rychlosti  $v_m$ .  
Dopadá rychlost částeček dopadající na  $M_1$  ... index "i" incident  
- - - odražené se od  $M_1$  - - - "r" reflected  
a rychlost  $v$  pohybujícího se rychlého souř. částeček

$(v_{II})'_i = (v_{II})_i + v_m$   
 $(v_{II})'_r = (v_{II})_r - v_m$  a  $(v_{II})'_i = (v_{II})'_r$

$\Rightarrow \Delta v_{II} = (v_{II})_r - (v_{II})_i = 2v_m$

$\Rightarrow \frac{dv_{II}}{dt} = \frac{2v_m}{\frac{2L}{v_{II}}} = \frac{v_m v_{II}}{L}$  a  $\frac{dJ}{dt} = -2v_{II}v_m + 2L \frac{v_m v_{II}}{L} = 0$

tedy  $\frac{dJ}{dt} = \frac{d}{dt}(2v_{II}L) = 0$

paralelní kinet. energie  $W_{II} = \frac{1}{2} m v_{II}^2 = \frac{m J^2}{8L^2}$  podle jak  $L \downarrow$

neměje ale ruz. dechovněna - pousřili jsme ruzně aproxiace  
- částeček mohou k mg. nádoby uniknout ztálovým úblem  
- pohybující se zrcadlo evokuje čas. změnu  $\vec{B}$  a tedy vznik  $\vec{E}$

Oradíme se zpět k vyjádření  $\mu_{II}$  pomocí invariantu  $J = 2v_{II}L \Rightarrow v_{II} = \frac{J}{2L}$   
 $\mu_{II} = m k n \langle v_{II}^2 \rangle$   $\mu_{II} = m k n \frac{J^2}{4L^2}$

Jestliže je adiabatic. komprese ve směru II pomale - ve normální s oscilací tam a zpět  
je  $J = \text{konst}$  a zároveň platí zachování mg. toku jako se mění  $L$  a přitom plasmata A (délka plasmata)

$\rightarrow$  tedy objem  $V = A \cdot L$  se mění a  $\underbrace{V \cdot n = \text{konst}}_{\text{počet částeček}}$ ,  $\underbrace{B \cdot A = \text{konst}}_{\text{mg. tok}}$

$L = \frac{V}{A} \sim \frac{B}{n}$

~~$\mu_{II} = m k n \frac{J^2}{4} \cdot \frac{m^2}{B^2}$~~   
 $\frac{\mu_{II} B^2}{m^3} = \frac{m k J^2}{4}$  a derivací podle času ( $\frac{dJ}{dt} = 0$ )  $\Rightarrow \frac{d(\mu_{II} B^2)}{dt} = 0$

(29) zopakování MHD rovnice

$$\frac{\partial \rho_m}{\partial t} + \nabla \cdot (\rho_m \vec{u}) = 0 \quad (1) \text{ rovnice kontinuity}$$

$$\frac{\partial \rho}{\partial t} + \nabla \cdot \vec{j} = 0 \quad (2) \text{ rovnice kontinuity náboje}$$

$(\frac{\partial \vec{u}}{\partial t} + \vec{u} \cdot \nabla \vec{u})$

$$\rho_m \frac{D\vec{u}}{Dt} = \rho \vec{E} + \vec{j} \times \vec{B} - \nabla p \quad (3) \text{ pohyb. rovnice}$$

$$\vec{E} + \vec{u} \times \vec{B} = \eta \vec{j} + \frac{\vec{j} \times \vec{B} - \nabla p_e}{me} \quad (4) \text{ vztah Ohm. zákon}$$

$$\frac{d}{dt} \left( \frac{\rho}{\rho_m} \right) = 0 \quad (5)$$

α HR

$$\nabla \times \vec{B} = \mu_0 (\vec{j} + \epsilon_0 \frac{\partial \vec{E}}{\partial t}) \quad \text{Ampérov zákon (s korekcí proudů)}$$

$$\nabla \times \vec{E} = - \frac{\partial \vec{B}}{\partial t} \quad \text{Faradayův zákon}$$

$$\nabla \cdot \vec{E} = \frac{\rho}{\epsilon_0}$$

$$\nabla \cdot \vec{B} = 0$$

Tyto rovnice se ovšem ještě dále zjednoduší (viz další kapitoly)!

1.7.2 Kvazineutrální aproximace

U předchozích rovnic jsme měli nenulovou hustotu náboje ρ - viz (2), (3). Proto ~~je~~ členy související s ρ můžeme zanedbat. Abychom mohli ukázat kdy, přivedeme postup, jak můžeme odhadovat velikost ~~členu~~ jednotlivých členů v rovnici (3):

V rovnici (3) - pohyb. rovnice porovnáme velikost el. síly ρE a inerciálního členu ρm u · ∇u

$$\frac{\rho E}{\rho_m u \cdot \nabla u} \sim \frac{\epsilon_0 E^2 / L}{\rho_m u^2 / L} \leftarrow \text{uznali jsme HR} \quad \nabla \cdot (\vec{E} \cdot \epsilon_0) = \rho$$

$$\frac{E \cdot \epsilon_0}{L} = \rho$$

↑  
Charakter. délka  $\frac{E}{L} \approx \frac{\partial E}{\partial x}$

$$\sim \frac{\epsilon_0 E^2}{\rho_m u^2} \sim \frac{\epsilon_0 E^2}{\rho_m \left(\frac{E}{B}\right)^2}$$

předp. že driftová rychlost je zprůměrná  $\vec{E} \times \vec{B}$  driftem, tedy  $|\vec{u}| \sim \left| \frac{\vec{E} \times \vec{B}}{B^2} \right| \sim \frac{E}{B}$

$$\sim \frac{\epsilon_0 B^2}{\rho_m}$$

- tato bezrozměrná veličina je ve většině případů velmi malá (na druhou stranu veličina  $1 + \frac{\rho_m}{\epsilon_0 B^2}$  ... diel. konst. je velká, obzvláště  $10^2 - 10^3$ )

⇓  
el. síla v rci (3) je zanedbatelná

V rovnici (2) - rovnice kontinuity náboje porovnáme člen separace náboje  $\frac{\partial \rho}{\partial t}$  se členem  $\nabla \cdot \vec{j}$

$$\frac{\partial \rho / \partial t}{\nabla \cdot \vec{j}} \sim \frac{\epsilon_0 E / L \tau}{j / L} \sim \frac{\epsilon_0 u B / \tau}{\rho_m u / B \tau}$$

odhadli jsme  $\vec{j}$  z rci (3)  $\vec{j} \times \vec{B} \sim \rho_m \frac{\partial \vec{u}}{\partial t}$   
 $j \sim \frac{\rho_m u}{B \tau}$

a tedy opět  $\sim \frac{\epsilon_0 B^2}{\rho_m}$

Tedy pro  $\frac{\rho}{\epsilon_0 B^2} \gg 1$  můžeme členy  $\rho \vec{E}$  a  $\frac{\partial \rho}{\partial t}$  zanedbat z rovnice (3) a (2).

Toto je kvazineutralní aproximace.

Pro ni můžeme ještě velmi podobným způsobem ukázat, že proukový proud v MR můžeme zanedbat:

$$\frac{\epsilon_0 \frac{\partial E}{\partial t}}{j} \sim \frac{\epsilon_0 \frac{E}{\tau}}{j} \sim \frac{\epsilon_0 \mu B / \tau}{\rho_m \mu / B \tau} \sim \frac{\epsilon_0 B^2}{\rho_m}$$

Nemůžeme ale zanedbat  $\rho$  v MR  $\nabla(\epsilon_0 \vec{E}) = \rho$  ! Protože se  $\rho$  nebude vyhybovat v řádové rovnici, můžeme tuto MR poté zanedbat a pak případně dopočítat

Magnetohydrodyn. rovnice obvykle používají kvazineutralní aproximaci

4.7.3 Aproximace "malého Larmorova poloměru"

Ukážeme, že 2. a 3. člen na PS zbeznámého Ohmova zákona (4) jsou zanedbat. v případě "malého Larmorova poloměru":

$$\vec{E} + \vec{u} \times \vec{B} = \eta \vec{j} + \frac{\vec{j} \times \vec{B} - \nabla p_e}{n_e} \quad (4)$$

Opět postupujeme podobně jako v předchozí kapitole, tedy porovnáme dva členy rovnice

$$\frac{\nabla p_e / n_e}{\vec{u} \times \vec{B}} \sim ?$$

$$\rho_m \left( \frac{\partial \vec{u}}{\partial t} + \vec{u} \cdot \nabla \vec{u} \right) = \vec{j} \times \vec{B} - \nabla p \quad (\rho \vec{E} \text{ zanedb.})$$

Abychom mohli odhadnout jeho velikost použijeme nejprve pohyb. teo. & má pro typickou plazmodynamickou situaci: pohyb kapaliny  $\vec{u}$  je zhruba  $\nabla p$  a  $\vec{B}$ .  
~~Uvažujme~~ v případě, kdy  $\vec{u}$  je ~~to~~ pohyb plně vyvinut, např. jako důsledek silné magnetohydrod. nestability bude  $\frac{\partial \vec{u}}{\partial t}$  zanedb. a

$$\rho_m \vec{u} \cdot \nabla \vec{u} \sim \nabla p \sim \vec{j} \times \vec{B}$$

$$\frac{\rho_m u^2}{\tau} \sim \frac{\mu}{\tau} \quad \text{a} \quad p = nkT, \quad \rho = nM \Rightarrow u \sim \sqrt{\frac{kT}{M}}$$

- drift. rychlost  $\sim$  iontová termální rychlost  
 ! Ne v účelný plazmodynam. jsou produkovány drift. rychlosti tak velké jako je iont. term. rychlost, ale v plně rozvinutém magnetohydrod. proudění, kde  $\nabla p$  a  $\vec{j} \times \vec{B}$  jsou srovnatelné pouze relativně pláznatelné  $\rho \vec{u} \cdot \nabla \vec{u}$ , tomu tak je. Pak je aprox. malého Larmorova poloměru přijatelná. Při slabším magnetohydrod. proudění, např. lam. kole drift. rychlost tekutiny, tedy  $\vec{E} \times \vec{B}$  drift, není větší než diamagnet. drift,  $\nabla B$  drift nebo drift zakřivení.  
 Tedy jakoby částice nedělali Larmorovu plovou, a hlavně tyto driftly souvisí.

Důležitým „nehomoné vodi“ je, že plazma je svázáno s mg. silami.

Důkaz: Ukážeme, že všechny elementy toku jsou původně umístěné na jakémkoliv siločáře budou stále na této siločáře i po libovolném pohybu nehomoné vod. plazmatu.

- Uvažujme dva elementy toku a určité siločáře v čase t - jsou spojené vektorem  $\Delta \vec{l}$  ( $\Delta \vec{l} \parallel \vec{B}(t)$ )
  - Za čas  $dt$  se oba elementy pohybují s  $\vec{u} dt$  a  $(\vec{u} + \Delta \vec{u}) dt$
  - Musíme dokázat, že  $\Delta \vec{l} + d(\Delta \vec{l})$  je rovnoběžné s  $\vec{B}(t+dt)$
- změna  $\Delta l$  za čas  $dt$

Vyjádříme  $\Delta \vec{u} = (\Delta l \cdot \nabla) \vec{u}$   
Taylor. rozvojem:

dále  $\Delta l + d(\Delta l) = \Delta l + (\vec{u} + \Delta \vec{u}) dt - \vec{u} dt$   $\left\{ \frac{d(\Delta l)}{dt} = \frac{\Delta \vec{u} dt}{dt} = (\Delta l \cdot \nabla) \vec{u} \right\}$

- jak se mění  $\vec{B}$  v čase?

$$\frac{\partial \vec{B}}{\partial t} = -\nabla \times \vec{E} = \nabla \times (\vec{u} \times \vec{B}) =$$

↑  
Odm. z. pro nehomoné vodič  $\vec{E} + \vec{u} \times \vec{B} = 0$

$$= \vec{u} \cdot (\nabla \times \vec{B}) - \vec{B} (\nabla \cdot \vec{u}) + (\vec{B} \cdot \nabla) \vec{u} - (\vec{u} \cdot \nabla) \vec{B}$$

= 0 ... HR

úplný diferenciál  $\vec{B}$  pro pohyb plazmatu je pak

$$\frac{d\vec{B}(t)}{dt} = \frac{\partial \vec{B}}{\partial t} + (\vec{u} \cdot \nabla) \vec{B} = (\vec{B} \cdot \nabla) \vec{u} - \vec{B} (\nabla \cdot \vec{u})$$

"  $\frac{d\vec{B}}{dt} \frac{d\vec{B}}{dt}$  "

- Nyní vyjádříme

$$\frac{d}{dt} (\Delta \vec{l} \times \vec{B}) = \frac{d\Delta \vec{l}}{dt} \times \vec{B} + \Delta \vec{l} \times \frac{d\vec{B}}{dt} =$$

$$= [(\Delta l \cdot \nabla) \vec{u}] \times \vec{B} + \Delta \vec{l} \times [(\vec{B} \cdot \nabla) \vec{u} - \vec{B} (\nabla \cdot \vec{u})]$$

~~meleče~~ meleče  $\Delta \vec{l} \parallel \vec{B}$ ,  $\Delta \vec{l} \times \vec{B} = 0$   
 $\Rightarrow$  poslední člen  $-\Delta \vec{l} \times \vec{B} (\nabla \cdot \vec{u}) = 0$

upravíme první dva členy: meleče  $\Delta \vec{l} \parallel \vec{B}$  můžeme je v 1. členu přechodit

Tedy  $\frac{d}{dt} (\Delta \vec{l} \times \vec{B}) = [(\vec{B} \cdot \nabla) \vec{u}] \times \Delta \vec{l} + \Delta \vec{l} \times [(\vec{B} \cdot \nabla) \vec{u}] = 0$

$\Rightarrow$  ~~meleče~~  $\Delta l$  se pohybuje tak, že zůstává  $\parallel$  s  $\vec{B}$

Když bychom dokázali stavil všechny plazmové elementy na nějaké siločáře, tato "bariera" čára plazmatu by se pohybovala komplikovaným způsobem v konfigur. prostoru, ale stále by souhlasila se siločárou.

! Toto platí pokud platí zjednodušený Ohm. zákon - nejen nehomoné vodič ale i opotinné malého Larmoraova poloměru, tedy  $\vec{E} \times \vec{B}$  diff. možem důležitější než diamag. ...

29

Prepřeme adiab. rei

$$0 = \frac{d}{dt} \left( \frac{p}{\rho_m^\mu} \right) = \frac{1}{\rho_m^{\mu-1}} \frac{d}{dt} \left( \frac{p}{\rho_m} \right) - \frac{(\mu-1)p}{\rho_m^{\mu+1}} \frac{d\rho}{dt} =$$

↑  
rovnice kontin.

$$= \frac{1}{\rho_m^{\mu-1}} \frac{d}{dt} \left( \frac{p}{\rho_m} \right) + \frac{(\mu-1)p}{\rho_m^\mu} \nabla \cdot \vec{u}$$

a nyní člen gradientů tlaku vynásobím

30  
Zformuluj MHD na v obzhljed' aproximacich:

$$\frac{\partial \rho_m}{\partial t} + \nabla \cdot (\rho_m \vec{u}) = 0 \quad (1)$$

$$\nabla \cdot \vec{j} = 0 \quad (2)$$

$$\rho \frac{D\vec{u}}{Dt} = -\nabla p + \vec{j} \times \vec{B} \quad (3)$$

$$E + \vec{u} \times \vec{B} = \eta \vec{j} \quad (4)$$

a MR

$$\nabla \times \vec{B} = \mu_0 \vec{j}$$

$$\nabla \times \vec{E} = -\frac{\partial \vec{B}}{\partial t}$$

$$\nabla \cdot \vec{B} = 0$$

Pro idealni magnetohydrodynamiku je Ohm. zakon

$$\vec{E} + \vec{u} \times \vec{B} = 0$$

2.2 Dynamika nemagnetizovaného plazmatu

Pre súbor častíc nem' pohybujú rovnicami tak jednoduchá ako pre jednu časticu.

č. jednoduší pohyb, t.j. pre  $\vec{p} = m \vec{v}$  a jednoduší máč. člen:

$$m m \frac{d\vec{u}}{dt} = q m (\vec{E} + \vec{u} \times \vec{B}) - \nabla p - m m \nabla m \vec{u}$$

(pre el. výboje) Obvykle píšeme pre  $e^-$  a uvažujeme n. s. neutrality.

- neuvádzame generáciu iónov
- náhly s. jedným daktorom druhým častic, ježe  $\vec{u}_s = 0$

2.2.1 Plazmové oscilácie

opt. Brillouin : predp. model súd. plazmatu (neuvádzame  $\nabla p_e$ )  
 ravnob. pohyb iónov úplne (stacionárni ióni)  
 ravnob. náhly  $e^-$

$m_e(\vec{r}, t) = m_0 + m_e'(\vec{r}, t)$  kde  $|m_e'| \ll m_0$  ... malá porušenie  $\rho = -e m_e'$   
 $\Rightarrow$  nenulové pole  $E(\vec{r}, t)$  a  $\vec{u}_e(\vec{r}, t)$  jsou porušenie 1. rádu  $\Rightarrow$   
 $\Rightarrow$  linearizované rovnice kontin. a hydrod. (energiu nepotrebujeme pretože nevykazuje n. s.  $p_e$ )

(1)  $\frac{\partial m_e'(\vec{r}, t)}{\partial t} + m_0 \nabla \cdot \vec{u}_e(\vec{r}, t) = 0$

(2)  $\frac{\partial \vec{u}_e}{\partial t} = -\frac{e}{m_e} \vec{E}(\vec{r}, t)$

(3)  $\nabla \cdot \vec{E}(\vec{r}, t) = \frac{\rho}{\epsilon_0} = -\frac{e}{\epsilon_0} m_e'$

Divergencie (2) a dosadíme z (3)  $\nabla \cdot E$

$$\frac{\partial}{\partial t} \nabla \cdot \vec{u}_e = + \frac{e}{m_e} \cdot \frac{e}{\epsilon_0} m_e'$$

Čas. derivácie (1) a dosadení  $\rightarrow$

$$\frac{\partial^2 m_e'}{\partial t^2} + \frac{m_0 e^2}{m_e \epsilon_0} m_e' = 0 \Rightarrow m_e' = \tilde{m}_e e^{-i\omega_p t}$$

$$\omega_p = \sqrt{\frac{m_0 e^2}{m_e \epsilon_0}}$$

Liberman ch. 92

Plazmová frekvencia  $e^-$  tíži typický v mikrovolnne oblasti (1-10 GHz)

Pokud neuděláme předpoklad stacionárni ióni dostaneme

$$\omega_p = \sqrt{\omega_{pe}^2 + \omega_{pi}^2}, \text{ kde } \omega_{pi} = \sqrt{\frac{m_e e^2}{M \epsilon_0}} \dots \text{ plazm. frekvence ióni}$$

ale protože  $M \gg m_e$  je  $\omega_p \approx \omega_{pe}$

Určujeme  $n_i$ , že

$$\lambda_D = \frac{v_{th}}{\omega_{pe}}$$

$$\sqrt{\frac{\epsilon_0 kT}{m_e e^2}} = \sqrt{\frac{kT}{m_e} \frac{m_e \epsilon_0}{m_e e^2}}$$

$$v_{th} = \sqrt{\frac{kT}{m}}$$

Plazmové oscilácie jsou klíčové

názkami  
 beznázkové pomocí mechanismy zvaného Landauův útlum, který budeme diskutovat u elekt. vln

Některou představuje útlum názkami a oscilace, pokud nejsou externě korigovány, se ztrácejí v čase.

Uvažujeme uniformní plazma ~~neprůhledná~~ v přibližně neutrálního plynu. Aplikujeme čas. proměnné el. pole

$$E_x(t) = \tilde{E}_x \cos \omega t = \text{Re } \tilde{E}_x e^{i\omega t}$$

Pro zjednodušení uvažujeme velké ionty ( $M \rightarrow \infty$ ) a předp., že vzhledy veličiny se mění sin. v čase.

Pohyb. rce  $m_0 e^-$   $m \frac{du_x}{dt} = -e \tilde{E}_x - m \gamma_m u_x$ , kde  $\gamma_m$  nářk. frekvence  $e^-$  neub.  
 studené plazma ( $\nabla p \approx 0$ )  $\Rightarrow u_x(t) = \text{Re } \tilde{u}_x e^{i\omega t} \Rightarrow \tilde{u}_x = -\frac{e}{m} \frac{1}{i\omega + \gamma_m} \tilde{E}_x$

Allenův proud  $\epsilon \text{MR } \frac{1}{\mu_0} \nabla \times \vec{B} = \vec{j} + \epsilon_0 \frac{\partial \vec{E}}{\partial t} : \vec{j}_{Tx} = \vec{j}_x + \epsilon_0 \frac{\partial E_x}{\partial t}$  a  $\tilde{j}_x = -e m_0 \tilde{u}_x$   
 amplituda

Protože  $\frac{\partial E_x}{\partial t} = \text{Re } i\omega \tilde{E}_x e^{i\omega t}$   
 amplituda  $\tilde{j}_{Tx} = -e m_0 \tilde{u}_x + i\omega \epsilon_0 \tilde{E}_x =$   
 $= i\omega \epsilon_0 \left[ 1 + \frac{e m_0 \cdot e}{m_0 i\omega \epsilon_0 (i\omega + \gamma_m)} \right] \tilde{E}_x =$   
 $= i\omega \epsilon_0 \left[ 1 - \frac{\omega_{pe}^2}{\omega(\omega - i\gamma_m)} \right] \tilde{E}_x$

• Jakže M. nei měřísl clápal jako pro dielektrikum

$\frac{1}{\mu_0} \nabla \times \vec{B} = \epsilon_p \frac{\partial \vec{E}}{\partial t}$ , kde  $\epsilon_p = \epsilon_0 \left[ 1 - \frac{\omega_{pe}^2}{\omega(\omega - i\gamma_m)} \right]$

to se dělá předovím pro vysoké frekvence  $\omega \gg \gamma_m$

bez nářk. diel. kond.  $\epsilon_p = \epsilon_0 \left( 1 - \frac{\omega_{pe}^2}{\omega^2} \right)$  neuvažují magnetikum

$\omega_{pe} = \sqrt{\frac{e^2 m_0}{m \epsilon_0}}$

• Nebo naopak se snažíme přepat MR do tvaru  $\frac{1}{\mu_0} \nabla \times \vec{B} = \vec{j}_T = (\sigma_p + i\omega \epsilon_0) \vec{E}$ ,  
 Ohm. zákon

kde  $\sigma_p = -\frac{e m_0 \tilde{u}_x}{\tilde{E}_x} = \frac{e^2 m_0}{\epsilon_0 m} \cdot \frac{\epsilon_0}{i\omega + \gamma_m} = \frac{\omega_{pe}^2 \epsilon_0}{i\omega + \gamma_m}$

a pro  $\omega \ll \gamma_m, \omega_{pe}$ , tedy nízké frekvence  $\sigma_p \rightarrow \sigma_{dc} = \frac{\epsilon_0 \omega_{pe}^2}{\gamma_m} = \frac{e^2 m_0}{m \gamma_m}$   
 stejnosm. vod. pro apok. stud. plazmatu

a  $\sigma_p = \sigma_{dc} \frac{\gamma_m}{i\omega + \gamma_m}$

pokud uvažují  $e^-$  iond nářky, mělu  $\sigma_{dc}$  nahradit paralelní  $\gamma$  přídruvou vodiči

$\sigma_{ei} \approx 0,019 \left( \frac{kT_e}{e} \right)^{3/2} \Omega^{-1} m^{-1}$   
 ln  $\Lambda$

$\Lambda = \frac{\lambda_D}{b_0} ; b_0 = \frac{q_1 q_2}{4\pi \epsilon_0 (\frac{1}{2} m v_{th}^2)}$

$\frac{kT_e}{e}$  ... křídla v eV

Co můžeme říct z úvah o diel. při plazmatu?

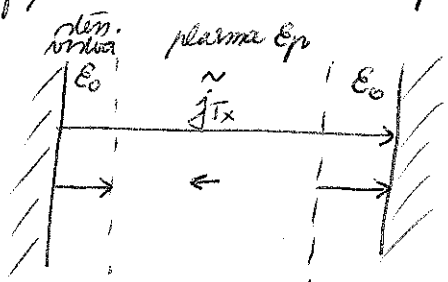
• pro nižší frekv. z mikrovolnm. oblasti  $\omega > \omega_{pe}$  ~~...~~  $\omega \gg \nu_m$  (mícholakovský výboj)  
 platí approx.  $\epsilon_p = \epsilon_0 \left(1 - \frac{\omega_{pe}^2}{\omega^2}\right)$  a  $\epsilon_p > 0, \epsilon_p < \epsilon_0$   
 (bezohledk. plazma)

• pro o něco nižší frekvence  $\omega < \omega_{pe}$  (ale  $\omega \gg \nu_m$ ) je  $\epsilon_p < 0$

běžně u výboje!

Co vyplývá ze záporné permittivity? Impedance kondenzátoru plazmatu  
 $Z = \frac{1}{i\omega C} \quad C = \epsilon_p \frac{A}{l} \Rightarrow Z = \frac{1}{i\omega \epsilon_p} \frac{l}{A} < 0$  a tedy vlastně jde o induktor  $Z = i\omega L \sim Z = i\omega \left(\frac{l}{\omega^2 \epsilon_p A}\right)$   
 $\Rightarrow$  plazma se v tomto frekvenčním intervalu chová jako induktor

u plazma  $\nu_m \ll \omega \ll \omega_{pe}$  v kontaktu se stěnou:  
 $\Rightarrow$  jako ulace typická pro mícholakovský výboj



$\tilde{E}_x(\text{sheath}) = \frac{\tilde{J}_{Tx}}{i\omega \epsilon_0}$  ... jen povrchový proud ve vakuu  
 $\tilde{E}_x(\text{plazma}) = \frac{\tilde{J}_{Tx}}{i\omega \epsilon_p}$

$\tilde{J}_{Tx}$  musí být stejné ve všech oblastech - kontinuita proudu u čisté odvození pro "obvod"

zároveň  $\epsilon_p < 0$  a  $|\epsilon_p| \ll \epsilon_0$

$\Rightarrow$  el. pole v plazmatu je mnohem menší a o  $180^\circ$  posunutá jáce (má obráceně) než el. pole v sheathu.

$\Rightarrow$  vnitřní napětí je v sheathu a jen malé v plazmatu

**2.2.3 Ohmický chřív**

čeholiv je el. pole v bulk. plazmatu malé, dáví vznikem výnamného chřívu ~~...~~ v důležitých e-neut. náččk: Čarově vytréd. výkon na jednotku objemu absorbovaný plazmatem

$P_{abs.} = \frac{1}{T} \int_0^T \vec{J}_T(t) \cdot \vec{E}(t) dt = \frac{1}{2} \text{Re}(\tilde{J}_T \cdot \tilde{E}^*) = \frac{1}{2} \text{Re}(\tilde{J}_T^* \cdot \tilde{E})$   
 $T = \frac{2\pi}{\omega}$  ;  $\int_0^T \tilde{J}_T e^{i\omega t} \cdot \tilde{E} e^{-i\omega t} dt = \int_0^T \tilde{J}_T^* \tilde{E} dt$  ;  $\int_0^T \tilde{J}_T \tilde{E}^* dt = \int_0^T \tilde{J}_T \tilde{E}^* dt$   
 • jak dospívá počítat

jinaké dosadíme  $\tilde{J}_T = (\sigma_p + i\omega \epsilon_0) \tilde{E}$ , dostaneme výkon absorb. v důležitých náččk s neutrály (ohmický chřív) pomocí intenzity el. pole elektrony

$P_{ohm} = \frac{1}{2} \text{Re} \left[ \sigma_{dc} \frac{\nu_m}{\nu_m - i\omega} - i\omega \epsilon_0 \right] |\tilde{E}|^2 = \frac{1}{2} |\tilde{E}|^2 \frac{\nu_m^2}{\nu_m^2 + \omega^2} \sigma_{dc}$

o mnoha případech známe již hodnotu proudu má intenzitu el. pole a velakt tedy upravíme pomocí  $\tilde{E} = \tilde{J}_T \frac{1}{\sigma_p + i\omega \epsilon_0} \Rightarrow P_{ohm} = \frac{1}{2} |\tilde{J}_T|^2 \text{Re} \left[ \frac{1}{\sigma_p + i\omega \epsilon_0} \right] =$

$= \frac{1}{2} |\tilde{J}_T|^2 \text{Re} \left[ \frac{1}{\epsilon_0} \frac{i\omega + \nu_m}{\omega_{pe}^2 - \omega^2 + i\omega \nu_m} \right] =$   
 $= \frac{1}{2} |\tilde{J}_T|^2 \text{Re} \left[ \frac{1}{\epsilon_0} \frac{(i\omega + \nu_m)(\omega_{pe}^2 - \omega^2 - i\omega \nu_m)}{(\omega_{pe}^2 - \omega^2)^2 + \omega^2 \nu_m^2} \right] = \frac{1}{2} |\tilde{J}_T|^2 \frac{1}{\epsilon_0} \frac{\nu_m \omega_{pe}^2}{\omega_{pe}^2 - \omega^2 + \nu_m^2}$

a uvažme-li  $\omega_{pe}^2 = \frac{e^2 n_0}{\epsilon_0 m_e}$  ;  $\sigma_{dc} = \frac{e^2 n_0}{2m m_e}$

$$P_{ohm} = \frac{1}{2} |\vec{J}_T|^2 \frac{1}{\sigma_{dc}} \left( \frac{\omega_{pe}^4}{(\omega_{pe}^2 - \omega^2)^2 + \omega^2 \gamma_m^2} \right)$$

Pro  $\omega \ll \omega_{pe}$  je člen v závorce  $\sim 1$  a  $P_{ohm} = \frac{1}{2} |\vec{J}_T|^2 \frac{1}{\sigma_{dc}}$

<sup>ohm.</sup> Většinou pro absorpci. výkon se nám bude hodit, když budeme hledat abs. výkon u vln v plazmatu nebo čas. proměnné pole. Samozřejmě pro vlny, ale zde se uvažuje, že pro nízkofrekv. vlny výkon není ohm. výkon kloumání zdrojem absorpce výkonu elektrony, myšl. mechanismus "nářek" e<sup>-</sup> o oscilujících ten. oblastech.

**2.2.4 Elmag vlny** (tato pro nemagnetizované plasma, tedy žádné mg. pole)

Vlny v plazmatu mohou být důležitě z hlediska přenosu energie z oblasti v plazmatu, kde jsou excitovány, do míst, kde jsou absorbovány.

V plazmatu < elektromagnet. vlny ... podobně jako v dielektriku, tří se díky výměně energie mezi el. a mg. polem  
< elektrodinamické vlny (další kapitola)

Jed' probereme elmag. vlny:

přep.  $\vec{E}, \vec{H}$  (nemurím uvažovat  $\vec{B}$  protože plasma nikdy nestojí poprvát jako magnetikum a tedy  $\vec{B} = \mu_0 \vec{H}$ )  
 $\vec{E}, \vec{H} \sim e^{i(\omega t - \vec{k} \cdot \vec{r})}$   $\vec{k}$  ... ven. vektor

Pro homog. izotropní (ne de mg. pole) plasma jsou vlny transverzální =  $\vec{E}, \vec{H}$  a  $\vec{k}$  jsou navzájem kolmé.

aleť dostali disperzní relaci, tedy vztah mezi  $\omega$  a  $\vec{k}$ , derivujeme  $\vec{k} \times \vec{E} = -\mu_0 \omega \vec{H}$   
de HR  $\nabla \times \vec{E} = -\frac{\partial \vec{B}}{\partial t} = -\mu_0 \frac{\partial \vec{H}}{\partial t} \Rightarrow -i \vec{k} \times \vec{E} \cdot e^{i(\omega t - \vec{k} \cdot \vec{r})} = -\mu_0 i \omega \vec{H} \cdot e^{i(\omega t - \vec{k} \cdot \vec{r})}$

uvažujeme  $\vec{k} \times \vec{E} = \omega \mu_0 \vec{H}$   
a) HR pro plasma jako dielektrikum  $\frac{1}{\mu_0} \nabla \times \vec{B} = \vec{j} + \epsilon_0 \frac{\partial \vec{E}}{\partial t}$

$\nabla \times [\vec{H} e^{-i\vec{k} \cdot \vec{r}}] = i\omega \epsilon_p \vec{E} e^{-i\vec{k} \cdot \vec{r}}$   
 $-i \vec{k} \times \vec{H} = i\omega \epsilon_p \vec{E}$   
 $\vec{k} \times \vec{H} = -\omega \epsilon_p \vec{E}$

$\epsilon_p = 1 - \frac{\omega_{pe}^2}{\omega(\omega - i\gamma_m)} \sim 1 - \frac{\omega_{pe}^2}{\omega^2}$   
kec nářek

$\vec{k} \times (\vec{k} \times \vec{E}) = -\omega^2 \mu_0 \epsilon_p \vec{E}$   
 $= (\vec{k} \cdot \vec{E}) \vec{k} - k^2 \vec{E}$   
 $= 0$  protože jsou na sebe kolmé  
a  $\epsilon = \frac{1}{\mu_0 \epsilon_0} \epsilon_p = \epsilon_0 \epsilon_p$   
 $\mu_0 \epsilon_p = \mu_0 \epsilon_0 \epsilon_p = \frac{\epsilon_p}{c^2}$

$k^2 \vec{E} = \epsilon_p \frac{\omega^2}{c^2} \vec{E}$

pro  $\vec{E}$  nemulové  $\vec{E}$  tato rovnost platí pouze pokud disperzní relace pro elmag vlny

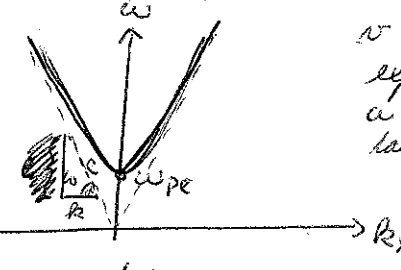
$k = \pm \frac{\epsilon_p \omega}{c}$

Použijeme-li  $R_p$  pro studené beznártové plasma se lze, iondy

*celá plasma approx.*  
 $\epsilon_p = \epsilon_0 R_p = \epsilon_0 \left(1 - \frac{\omega_{pe}^2}{\omega^2}\right)$

Vidíme, že vlny se šíří (tedy  $k_x$  je reálné) pro  $R_p > 0 \Rightarrow \omega > \omega_{pe}$

Obrábek disperzní relace  $\omega(k)$  vlny vlny pro nemagnet. plasma



v obráběním případě se exponenciálně v plazmatu klumí a obzvláště  $\omega < \omega_{pe}$  ve vlnějí takže se šířit nemohou

$k = \pm \frac{\sqrt{R_p} \omega}{c}$   
 poleže pro  $\omega \rightarrow \infty$   
 $R_p = 1 \Rightarrow k = \pm \frac{\omega}{c}$   
 tedy  $c = \frac{\omega}{k} = \frac{1}{\mu_0 \epsilon_0} \dots$  směrnice přímky

bylo i vlny jsou třeba pro indukčivní vlnějí

pozn. pro magnet. plasma je to vše složitější a v el. vlnějí, i když  $\omega < \omega_{pe}$  se šířit mohou

pozn. dvě nezávislé polarizace mají stejný vln. vektor  $k$ . Někdy  $\vec{k} = \hat{x} k_x$  a obecná tvarová vlna šíří se podél  $x$  má obecně eliptickou polarizaci.  
 $\vec{E} = \hat{y} \tilde{E}_y + \hat{z} \tilde{E}_z$   
 pro mag. plasma už to neplatí!

2.2.5 Ekvad. vlny

už disponujeme uvažovali approx. stud. plazmatu, tedy naráždili do potyby sice člen tepelného potyby  $-\nabla p_e$ .  
 V modelu tepelného plazmatu tento člen uvažujeme (zjednodušíme si energii  $\vec{q}_e = 0 \dots$  vektor toku tepla) a pak se ukazuje, že plazmatem se mohou šířit vlny  $\propto \vec{k} \parallel \vec{E}$ . Tyto vlny nejsou možné ve vakuu nebo dielektriku a šíří se díky přenosu energie mezi tepelnou a elektrickou formou. jsou podobné ~~...~~ rovinným vlnám v plynu.

plazmové oscilace  $\omega_{pe}$ , které jsme odvodili z potyby sice bez členu  $-\nabla p_e$  a které jsou  $\parallel \vec{E}$  se po přidání členu  $-\nabla p_e$  stávají elektr. plazm. vlnami.

bereme potybovou sice  $m m_e \left[ \frac{\partial \vec{u}_e}{\partial t} + (\vec{u}_e \cdot \nabla) \vec{u}_e \right] = -e m_e \vec{E} - \nabla p_e$   
 bez mag. pole a nářak

a adiabatickou sice energii - ekvivalentní zjednění  $\frac{d}{dt} \left( \frac{p_e}{\rho_m} \right) = 0 \rightarrow \frac{d}{dt} \left( \frac{p_e}{m_e n} \right) = 0$

$\rightarrow \frac{p_e}{m_e n} = C \rightarrow p_e = C m_e n \rightarrow \ln p_e = \ln C + \gamma \ln m_e n \rightarrow$   
 $\rightarrow \frac{\nabla p_e}{p_e} = \gamma \frac{\nabla m_e n}{m_e n}$  *tuto budu potřebovat*  
 $\gamma = \frac{N+2}{N} \begin{cases} \frac{5}{3} & 3D \\ 3 & 1D \end{cases}$

a platí  $p_e = n_e k_B T_e$ , kde  $T_e = \text{konst}$  (pro adiab. šíř)  
 $\Rightarrow \frac{\nabla p_e}{p_e} = \frac{\nabla n_e}{n_e} = \gamma \frac{\nabla n_e}{n_e} = \gamma \frac{\nabla (n_e k_B T_e)}{n_e k_B T_e}$   
 $\Rightarrow \nabla p_e = \gamma k_B T_e \nabla n_e$

Předp. že následující veličiny jsou malé:  $m_1$  ( $m_e = m_0 + m_1$ )

$E_1 \quad \vec{E} = E_x \tilde{x}$  a  $m_1, E_1, u_1, v_e$   $i(\omega t - k_x x)$   
 $u_{e1} \quad \vec{u}_e = u_1 \tilde{x}$

tedy, že nemáme žádné 'stavové' pole nebo driftly

vlm. vektor  $\vec{k} \parallel \vec{E}$

z HR potřebujeme pouze neci divergence

Máme tedy tyto rovnice (neuvádíme náčty)

nec kontinuity  
 pohyb. nec

$\omega m_1 - k_x m_0 u_1 = 0$

$i\omega m m_0 u_1 = -e m_0 E_1 + i k_x \mu k T_e m_1$

HR diverg.

$i k_x \epsilon_0 E_1 = e n_1$

Když tyto rovnice použijeme dostáváme

$\omega^2 = \omega_{pe}^2 + k_x^2 c_p^2$

$m_1 = \frac{i k_x \epsilon_0 E_1}{e}, u_1 = \frac{\omega}{k_x m_0} m_1 = \frac{\omega}{m_0} \frac{i \epsilon_0 E_1}{e}$

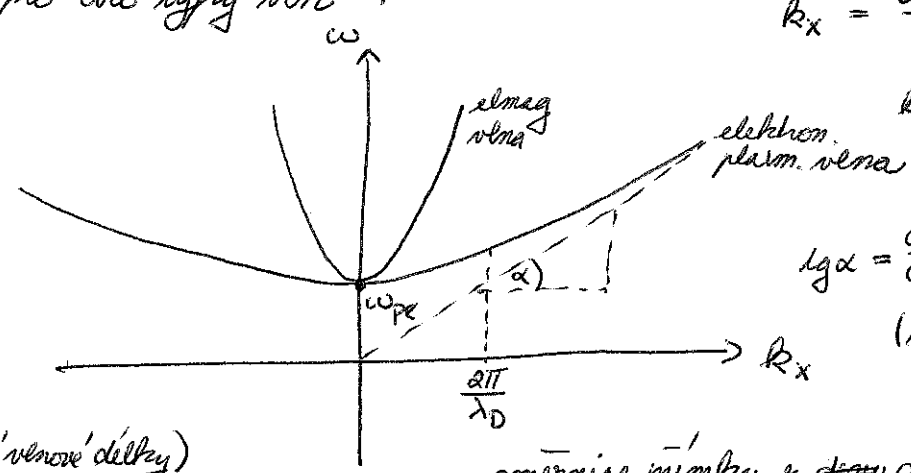
a dosadíme do 2. nec

$-\frac{\omega^2 m \epsilon_0 E_1}{e} = -e m_0 E_1 - k_x^2 \frac{\mu k T_e \epsilon_0}{e} E_1$

hde  $c_p = \sqrt{\frac{\mu k T_e}{m}}$  je adiab. (elektronová)  $\gamma$  (rychl. zvuku)  
 $\mu = 3$  protože uvažujeme 1D pohyb!

Disperzní relace pro oba typy vln:

$k_x^2 = \frac{\omega^2 - \omega_{pe}^2}{c_p^2}$



$k_x = 0 \Rightarrow \omega = \omega_{pe}$

$\tan \alpha = \frac{d\omega}{dk_x} = c_p$

(v Heisenman. obr. chyba?!)

(tedy krátké vlnové délky)

Pro  $k_x \gtrsim \frac{2\pi}{\lambda_D}$  jsou vlny

kluzné (nepelným pohybem, který roztahuje kolektivní procesy  $\Rightarrow$  Landauův útlum (bersnárkový))

rovnice přímky z ~~de~~ diferencování disperzní relace  $2d\omega = 2dk_x \cdot c_p$

2.3 Polya (drift) gyrationo tredi

TABLE 4.1. Summary of Guiding Center Drifts  
( $R_c/R_c^2 = -\nabla B/B$ )

General force drift	$v_F = \frac{(F/q) \times B}{B^2}$
Electric field drift	$v_E = \frac{E \times B}{B^2}$
Curvature drift	$v_R = \frac{2W_{  }}{q} \frac{R_c \times B}{R_c^2 B^2}$
Grad-B drift	$v_{\nabla B} = \frac{W_{\perp}}{q} \frac{B \times \nabla B}{B^3}$
Polarization drift	$v_p = \frac{m}{qB^2} \frac{\partial E}{\partial t}$

$$= -\frac{2W_{||}}{qB^4} [(\vec{B} \cdot \nabla) \vec{B}] \times \vec{B}$$
~~$$= -\frac{2W_{||}}{qB^4} \nabla B^2 \times \vec{B}$$~~
  

$$|\vec{m}| = \frac{W_{\perp}}{B}$$

## 2.4 Dynamika magnetizovaného plazmatu

Čo sa deje v plazme vloženého do stat. uniformného mg. pole  $\vec{B}_0$  za prítomnosti čas. promenného el. a mg. pole je veľmi komplikované:

- gyrotropický pohyb skutočne konvertuje pohyb v jednom smere, na ktorý pôsobí mg. pole, do komponenty rýchlosti v inom smere  $\Rightarrow$  "gyrotropický" dielektr. tenzor, ktorý má komplexné a zhrnuté nediagonálne členy
- omezení pohyb  $e^-$  na  $\vec{B}_0$  spôsobí odrazu o pohyb iontov, ktorá je dôležitá prevozm pri  $\downarrow \phi$  (keďže to ionty "líhajú")
- prípadne náhové posuny vč. dále komplikujú

Keď uvažujeme elmag vlny, je jejich rýchlosť šírenia väčšinou menšia než rýchlosť svetla, takže efektívne rozšírenie  $e^-$  a iont. tepelnými rozšíreniami môžeme ignorovať. O predchoci časti nemagnetiz. plazmatu sme videli, že el. vlny sa šíria dĺžky výmery tepelné  $\times$  el. formě energie, takže šírenie silne závisí na teplote. Podobne v magnetiz. plazmate existujú el. vlny, ktoré sa šíria skrz mg. pole a jejich šírenie závisí od tepel. jvy. Tieto vlny majú však kriticke pre slabé ioniz. plazma dôležité  $\Rightarrow$  nebudeme je uvažovať

### 2.4.1 Dielektr. tenzor

Uvažujeme lineárnizovanou pohyb. aci pro  $e^-$  +  $i\omega m_e \vec{u}_e = -e(\vec{E} + \vec{u}_e \times \vec{B}_0) - m_e \gamma_m \vec{u}_e$   
 a) uvažujeme náhby ani pohyb iontov  $\vec{B}_0 = (0, 0, B_0)!$   
 O posledný člen  $\leftarrow$  O rovinu pro ionty

$$\omega_{ce} = \frac{eB}{m}$$

$$\omega_{pe} = \sqrt{\frac{e^2 n}{\epsilon_0 m}}$$

$$\Rightarrow \left. \begin{aligned} i\omega \tilde{u}_{ex} &= -\frac{e}{m_e} \tilde{E}_x - \frac{e B_0}{m} \frac{\tilde{u}_{ey}}{\omega_{ce}} \\ i\omega \tilde{u}_{ey} &= -\frac{e}{m_e} \tilde{E}_y + \frac{\omega_{ce}}{\omega} \tilde{u}_{ex} \\ i\omega \tilde{u}_{ez} &= -\frac{e}{m_e} \tilde{E}_z \end{aligned} \right\} \begin{aligned} \tilde{u}_{ex} &= \frac{e}{m} \frac{i\omega \tilde{E}_x - \frac{\omega_{ce}}{\omega} \tilde{E}_y}{\omega^2 - \frac{\omega_{ce}^2}{\omega^2}} \\ \tilde{u}_{ey} &= \frac{e}{m} \frac{i\omega \tilde{E}_y + \frac{\omega_{ce}}{\omega} \tilde{E}_x}{\omega^2 - \frac{\omega_{ce}^2}{\omega^2}} \end{aligned}$$

$$\vec{j} = -en_0 \vec{u}_e, \text{ HR } \nabla \times \vec{H} = i\omega \epsilon_0 \vec{E} + \vec{j} = i\omega \hat{\epsilon}_p \cdot \vec{E}$$

$$\hat{\epsilon}_p = \epsilon_0 \hat{\kappa}_p = \epsilon_0 \begin{pmatrix} \kappa_{\perp} & -i\kappa_H & 0 \\ i\kappa_H & \kappa_{\perp} & 0 \\ 0 & 0 & \kappa_{\parallel} \end{pmatrix}$$

$$\left. \begin{aligned} \kappa_{\perp} &= 1 - \frac{\omega_{pe}^2}{\omega^2 - \omega_{ce}^2} \\ \kappa_H &= \frac{\omega_{ce}}{\omega} \frac{\omega_{pe}^2}{\omega^2 - \omega_{ce}^2} \\ \kappa_{\parallel} &= 1 - \frac{\omega_{pe}^2}{\omega^2} \end{aligned} \right\} \text{ charakter. pro vlnitk. gyrotropické médium}$$

$\kappa_{\parallel} = 1 - \frac{\omega_{pe}^2}{\omega^2}$  - stejné jako  $\kappa_p$  bez  $\vec{B}_0$

b) uvažujeme náhby  $\Rightarrow$  transformace  $\omega \rightarrow \omega - i\nu_m$  tam, kde  $\omega$  pečláři z pohyb. zce  $\omega$  ne HR

$$\kappa_{\perp} = 1 - \frac{\omega - j\nu_m}{\omega} \frac{\omega_{pe}^2}{(\omega - j\nu_m)^2 - \omega_{ce}^2} \quad (4.4.6a)$$

$$\kappa_x = \frac{\omega_{ce}}{\omega} \frac{\omega_{pe}^2}{(\omega - j\nu_m)^2 - \omega_{ce}^2} \quad (4.4.6b)$$

$$\kappa_{\parallel} = 1 - \frac{\omega_{pe}^2}{\omega(\omega - j\nu_m)} \quad (4.4.6c)$$



## 2.5 Vlny v magnet. plazmatu

- popíšeme obecné vlastnosti vln v magnet. plazmatu
- probereme detaily hlavních (principál) vln, tj. těch které se šíří  $\parallel$  a  $\perp$  k  $\vec{B}_0$
- kvalitativně si popíšeme šíření vln pod libovolným úhlem v různých oblastech frekvencí, hustoty a mg. pole

Jedliže vyřídíme předložíme det  $[ \dots ] = 0$  dostáváme

$$aN^4 - bN^2 + c = 0,$$

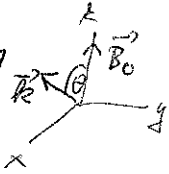
kde

$$a = \kappa_{\perp} \sin^2 \theta + \kappa_{\parallel} \cos^2 \theta$$

$$b = (\kappa_{\perp}^2 - \kappa_{\parallel}^2) \sin^2 \theta + \kappa_{\parallel} \kappa_{\perp} (1 + \cos^2 \theta)$$

$$c = (\kappa_{\perp}^2 - \kappa_{\parallel}^2) \kappa_{\parallel}$$

Problém je krajně, že existují dvě různé řešení rovnice pro daný úhel  $\theta$ . Tyto řešení odpovídají dvěma dovoleným polarizacím el. pole vlny.



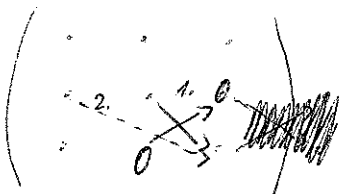
$$N^2 = \frac{\pm \sqrt{b^2 - 4ac}}{2a}$$

Protože diskriminant  $b^2 - 4ac = (\kappa_{\perp}^2 - \kappa_{\parallel}^2)^2 \sin^4 \theta + \kappa_{\parallel}^2 \kappa_{\perp}^2 (1 + \cos^2 \theta)^2 + 2(\kappa_{\perp}^2 - \kappa_{\parallel}^2) \kappa_{\parallel} \kappa_{\perp} \sin^2 \theta (1 + \cos^2 \theta) - 4 \kappa_{\parallel} (\kappa_{\perp}^2 - \kappa_{\parallel}^2) (\kappa_{\perp} \sin^2 \theta + \kappa_{\parallel} \cos^2 \theta)$

$$= \dots - 2(\kappa_{\perp}^2 - \kappa_{\parallel}^2) \kappa_{\parallel} \kappa_{\perp} \sin^2 \theta > 0$$

$\Rightarrow N^2$  je reálné (dvě řešení!)  $\left\{ \begin{array}{l} N \text{ reálné a vlna se šíří} \\ N \text{ imaginární a vlna je exp. utlumena (cut-off frekvence)} \end{array} \right.$

Dvě různé polarizace vlny mají různé poměry složek el. pole. Poměry vyjádříme pomocí delemainantů submatice libovolného řádku. Vezmeme např. 1. řádek matice



$$\tilde{E}_x : \tilde{E}_y : \tilde{E}_z \approx (\kappa_{\perp} - N^2) (\kappa_{\parallel} - N^2 \sin^2 \theta) : i \kappa_{\parallel} (N^2 \sin^2 \theta - \kappa_{\parallel}) : (N^2 - \kappa_{\perp}) N^2 \cos \theta \sin \theta$$

což dává dva různé poměry pro dvě různé hodnoty  $N^2$

Protože dvě různé vlny mají různý vln. vektor ( $k = k_0 N$ ) a jejíž el. pole má různé poměry v prostoru, nemůžeme je rozlišit do vlny, která je měla výslednou polarizaci konstantní podél šíření a vlny  $\rightarrow$  uvažujeme je volně.

Můžeme vyřídit i  $aN^4 - bN^2 + c = 0 \Rightarrow N^2(\theta)$ , ale to není moc užitečné

$\Rightarrow \theta(N^2)$  je lepší!

Nejednoduše ale označíme  $\kappa_r = \kappa_{\perp} - \kappa_{\parallel}$  a  $\kappa_l = \kappa_{\perp} + \kappa_{\parallel} \Rightarrow \kappa_{\perp}^2 - \kappa_{\parallel}^2 = \kappa_r \kappa_l$

že vztahy pro relat. permittivity (neuvažujeme nářez a pohyb iontů)

dostaneme

$$\kappa_r = 1 - \frac{\omega_{pe}^2}{\omega(\omega - \omega_{ce})} \quad \text{a} \quad \kappa_l = 1 - \frac{\omega_{pe}^2}{\omega(\omega + \omega_{ce})}$$

Vztahy pro nárůly dostaneme nahrazením  $\omega \pm \omega_{ce} \rightarrow \omega \pm \omega_{ce} - i\gamma_m$   
 a vztahy pro pohyb ionů přičtením ~~toho~~ iontových členů

$$\kappa_r = 1 - \frac{\omega_{pe}^2}{\omega(\omega - \omega_{ce})} - \frac{\omega_{pi}^2}{\omega(\omega + \omega_{ci})} \quad (4.5.6a)$$

$$\kappa_l = 1 - \frac{\omega_{pe}^2}{\omega(\omega + \omega_{ce})} - \frac{\omega_{pi}^2}{\omega(\omega - \omega_{ci})} \quad (4.5.6b)$$

Vyřídíme rovnici pro  $N^2, \theta$   $aN^4 - bN^2 + c = 0$   
 a elou nej rozdělíme  $\cos^2 \theta$

$$\begin{cases} a = \kappa_{\perp} \sin^2 \theta \\ b = \kappa_r \kappa_e \sin^2 \theta + \kappa_{\parallel} \kappa_{\perp} (\sin^2 \theta + 2\cos^2 \theta) \\ c = \kappa_r \kappa_e (\sin^2 \theta + \cos^2 \theta) \end{cases}$$

$$\tan^2 \theta = \frac{\kappa_{\parallel} (N^2 - \kappa_r) (N^2 - \kappa_l)}{(N^2 - \kappa_{\parallel}) (\kappa_{\perp} N^2 - \kappa_r \kappa_l)} \quad (4.5.7) \quad \uparrow \quad 1 = \sin^2 \theta + \cos^2 \theta$$

2.5.1 Hlavní elektr. vlny

a)  $\vec{k} \parallel \vec{B}_0 \Rightarrow \theta = 0$

$\theta = 0 \Rightarrow \kappa_{\parallel} (N^2 - \kappa_r) (N^2 - \kappa_e) = 0$

1. řešení  $\kappa_{\parallel} = 0$  jsou  
 plazmové oscilace (ne vlny)  
 pro  $\vec{E} \parallel \vec{B}_0$

$$\kappa_{\parallel} = 1 - \frac{\omega_{pe}^2}{\omega^2} = 0 \Rightarrow \omega = \omega_{pe}$$

další dvě řešení jsou el. vlny:

$$N_r^2 = \kappa_r = 1 - \frac{\omega_{pe}^2}{\omega(\omega - \omega_{ce})} \quad \text{a} \quad N_e^2 = \kappa_e = 1 - \frac{\omega_{pe}^2}{\omega(\omega + \omega_{ce})}$$

zde může dojít k rezonanci pro  $\omega = \omega_{ce}$   
 $N_r \rightarrow \infty$  ... vlna roluje rychnoně  
 s gyrační elektronů kolem  $\vec{B}_0$ , což vede  
 k rezonanci absorpci energie

pro tuto vlnu k rezonanci dojit  
 nemůž

odraz vlny nastává pro

$$1 - \frac{\omega_{pe}^2}{\omega(\omega + \omega_{ce})} = 0$$

a bereme pouze řešení dávající  
 kladnou frekvenci  $\omega_L = \frac{-\omega_{ce} + \sqrt{\omega_{ce}^2 + 4\omega_{pe}^2}}{2}$

pozn. rezonance když  $N_{\text{fázová}} = \frac{\omega}{kz} = 0$  tedy  $k, N \rightarrow \infty$

odraz vlny (evanescentní vlna, klesá exponenc. klesá)  
 "cutoff"  
 $N_{\text{fázová}} \rightarrow \infty$  tedy  $k, N = 0$

odraz pro  $1 - \frac{\omega_{pe}^2}{\omega_r(\omega_r - \omega_{ce})} = 0$

a bereme pouze řešení dávající kladnou frekvenci:  
 $\omega_R = \frac{\omega_{ce} + \sqrt{\omega_{ce}^2 + 4\omega_{pe}^2}}{2}$

RHP

Jako vlna je pravotočivě kruhově polarizovaná:  
 uvidíme z poměru amplitud složek  $\vec{E}$

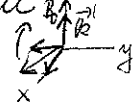
$$\begin{aligned} \tilde{E}_x : \tilde{E}_y &= (\kappa_{\perp} - \kappa_r) \kappa_{\parallel} : -i \kappa_{\parallel} \kappa_{\perp} \\ \tilde{E}_x : \tilde{E}_y &= \kappa_{\parallel} : -i \kappa_{\parallel} \end{aligned}$$

Jedy  $\vec{E} = \text{Re} [\tilde{E}_r (\hat{x} - i\hat{y}) e^{i(\omega t - \vec{k}_z \cdot \vec{r})}]$

a pro  $\vec{r}$  = konst má vlna konst. amplitudu  
 a roluje pravotočivě kolem  $\vec{B}_0$  frekvencí  $\omega$   
 (pro měř. hod. ručiček)

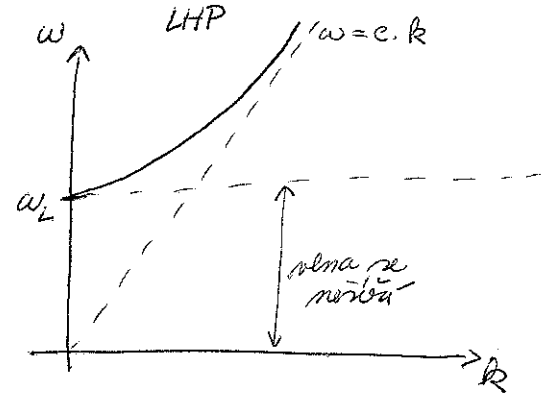
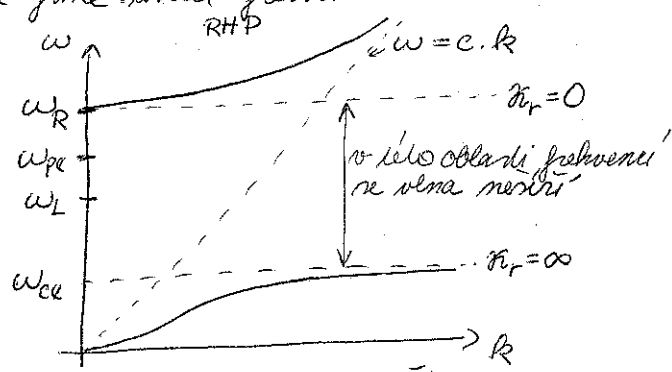
LHP

je o levotočivě kruhově polarizovaná  
 vlnu  $\vec{E} = \text{Re} [\tilde{E}_l (\hat{x} + i\hat{y}) e^{i(\omega t - \vec{k}_z \cdot \vec{r})}]$



⇒ Obecně se podél  $\vec{B}_0$  může šířit pouze RHP a LHP vln.

Když jsme určili frekvence rezonance a odrazu, můžeme napsat disperzní relace



obecně:  $N^2 = \frac{k^2}{k_0^2} = \frac{k^2 \cdot c^2}{\omega^2}$

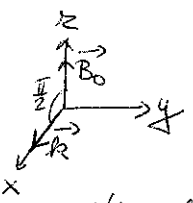
RHP:  $N_r^2 = 1 - \frac{\omega_{pe}^2}{\omega(\omega - \omega_{ce})}$

$\omega(k)$

b)  $\vec{k} \perp \vec{B}_0 \Rightarrow \theta = \frac{\pi}{2}$

a tedy  $\tan \theta \rightarrow \infty$

a jmenovatel zlomku musí být nula



$(N^2 - \kappa_{||})(\kappa_{\perp} N^2 - \kappa_r \kappa_e) = 0$

1. řešení  $N^2 = \kappa_{||}$

tedy vlna šíří se i v nemagnetizovaném plazmatu

$N^2 = \frac{k^2 c^2}{\omega^2} = 1 - \frac{\omega_{pe}^2}{\omega^2}$

$\omega^2 = k^2 c^2 + \omega_{pe}^2$

odraz ( $k=0$ ) pro  $\omega = \omega_{pe}$   
 Vlna odpovídá lineárně polarizované vlně  $\vec{E} \parallel \vec{B}_0$ , takže poloha není ovlivněn  $B_0$  naráží se řádná (ordinary  $\Rightarrow$  řádná  $\theta$ )

proto kolem mohli zjistit z poměru amplitud  $\tilde{E}_x : \tilde{E}_y : \tilde{E}_z$

pro  $\sin \frac{\pi}{2} = 1 \Rightarrow (\kappa_{\perp} - N^2)(\kappa_{||} - N^2) : i \kappa_{||} (N^2 - \kappa_{||}) : 0$

pro  $N^2 = \kappa_{||}$   $0 : 0 : 0 \Rightarrow$  nemohli nic říct o velikostech  $\tilde{E}_x, \tilde{E}_y, \tilde{E}_z$  a musím zjistit tu rozdílu s malou!

2. řešení

$N^2 = \frac{\kappa_r \kappa_e}{\kappa_{\perp}} = \frac{\kappa_{\perp}^2 - \kappa_H^2}{\kappa_{\perp}}$

vlna se el. polem kolmým na  $\vec{B}_0$  a dvěma složkami  $\parallel$  a  $\perp$  k  $\vec{k}$  (tedy v  $ox$  a  $xy$ )

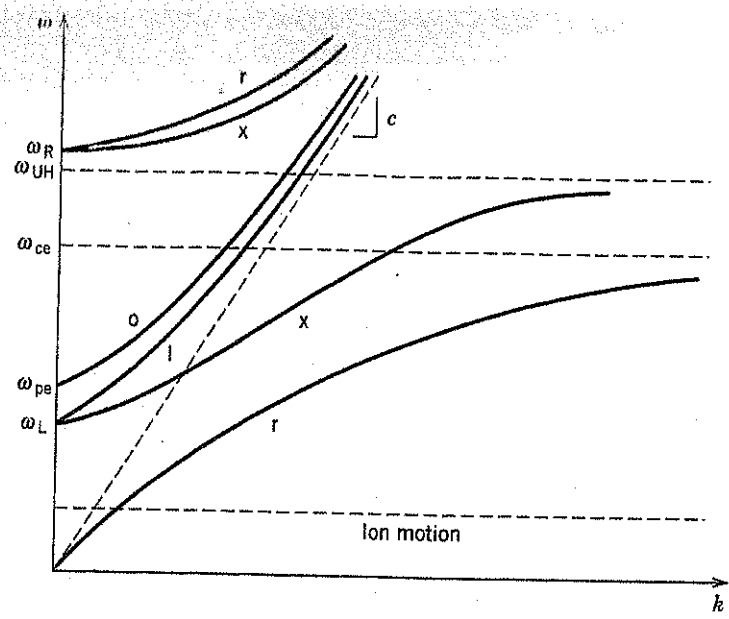
naráží se mimořádná (extraordinary - obn. x)

$N_x^2 = \frac{[1 - \frac{\omega_{pe}^2}{\omega(\omega - \omega_{ce})}][1 - \frac{\omega_{pe}^2}{\omega^2}]}{1 - \frac{\omega_{pe}^2}{\omega^2 - \omega_{ce}^2}}$

tedy je tedy jasně  $\tilde{E}_z = 0$

odraz ( $N_x = 0$ ) pro frekvence maleně již dříve:  $\omega_R, \omega_L$   
 k tomu pro  $1 - \frac{\omega_{pe}^2}{\omega^2 - \omega_{ce}^2} = 0$   
 tedy  $\omega^2 - \omega_{ce}^2 - \omega_{pe}^2 = 0$   
 UH  $\omega_{UH}^2 = \omega_{ce}^2 + \omega_{pe}^2$

Nyní tedy můžeme namalovat disperzní vztahy pro všechny hlavní vlny



~~Vraťme se ještě~~

Rozbereme ještě podrobněji RHP vlnu pro  $\omega < \omega_{ce}$  (podní vlna - r).  
 Vlna se šíří, protože  $\omega < \frac{eB_0}{m_e}$ . Co se stane když  $B_0$  značně pomalu snižovat?  
 V určitém okamžiku může  $\omega = \omega_{ce}(z)$  a dojde k rezonanci  $k_r = \infty$ ,  
 $v_{fázová} = \frac{\omega}{k}$  i  $v_{grupová} = \frac{\partial \omega}{\partial k} \rightarrow 0$  a vlna ji silně absorbována (musí být  
 ještě zplněny určité podmínky proster. směr pole a hustoty plazmatu) - princip výboje  
 buzení elmag. vlnou!

2.5.2. Hlavní vlny při uvažování dynamiky iontů

a)  $\vec{k} \parallel \vec{B}_0$  
$$N_r^2 = 1 - \frac{\omega_{pe}^2}{\omega(\omega - \omega_{ce})} - \frac{\omega_{pi}^2}{\omega(\omega + \omega_{ci})} \quad (4.5.16a)$$

$$N_l^2 = 1 - \frac{\omega_{pe}^2}{\omega(\omega + \omega_{ce})} - \frac{\omega_{pi}^2}{\omega(\omega - \omega_{ci})} \quad (4.5.16b)$$

$\omega_{ce}$  dále upravíme, když uvažujeme  $m_e = m_i$  v  $\omega_{pe}^2 = \frac{e^2 m_e}{\epsilon_0 m_e}$  a  $\omega_{pi} = \dots$

pro RHP: 
$$N_r^2 = 1 - \frac{\omega_p^2}{(\omega - \omega_{ce})(\omega + \omega_{ci})} \quad (4.5.17)$$

pro LHP: Similarly for the LHP wave, we have

$$N_l^2 = 1 - \frac{\omega_p^2}{(\omega + \omega_{ce})(\omega - \omega_{ci})} \quad (4.5.18)$$

} obě mají ~~úplnou~~ rezonance  
 $\omega = \omega_{ce}$   
 $\omega = \omega_{ci}$

b)  $\vec{k} \perp \vec{B}_0$   
 pro mimerádrou vlnu

$$N_x^2 = \frac{\left[ 1 - \frac{\omega_{pe}^2}{\omega(\omega - \omega_{ce})} - \frac{\omega_{pi}^2}{\omega(\omega + \omega_{ci})} \right] \left[ 1 - \frac{\omega_{pe}^2}{\omega(\omega + \omega_{ce})} - \frac{\omega_{pi}^2}{\omega(\omega - \omega_{ci})} \right]}{1 - \frac{\omega_{pe}^2}{\omega^2 - \omega_{ce}^2} - \frac{\omega_{pi}^2}{\omega^2 - \omega_{ci}^2}}$$

Ke vztahu pro mimosvlnnou vlnu vyplývá, že má opět dvě cutoff frekvence jako RHP, LHP. Resonance markováno

$$(\omega^2 - \omega_{ce}^2)(\omega^2 - \omega_{ci}^2) - \omega_{pe}^2 \omega_{pi}^2 = 0$$

⇒ dvě řešení

horní hybridní resonance  $\omega_{UH}^2 \approx \omega_p^2 + \omega_{ce}^2$   
 spodní " " " "  $\frac{1}{\omega_{LH}^2} \approx \frac{1}{\omega_{pi}^2} + \frac{1}{\omega_{ce}\omega_{ci}}$   
 (kdy jsme před tím neměli)

pro  $\omega_{pi} \gg \omega_{ci}$   
 (typicky pro materiál, intenzivně ~~ne~~ ve výbojích)

Energie nízkofrekvenční vlny může být v plazmatu silně absorbována.

Průhledná tabulka frekvencí cetraru a resonance:

TABLE 4.7. Summary of Cutoffs and Resonances for the Principal Waves

Wave	Cutoffs ( $k = 0$ )	Resonances ( $k = \infty$ )
r wave	$(\omega - \omega_{ce})(\omega + \omega_{ci}) = \omega_p^2$ or $\omega \approx \frac{\omega_{ce} + \sqrt{\omega_{ce}^2 + 4\omega_p^2}}{2}$	$\omega = \omega_{ce}$
l wave	$(\omega + \omega_{ce})(\omega - \omega_{ci}) = \omega_p^2$ or $\omega \approx \frac{-\omega_{ce} + \sqrt{\omega_{ce}^2 + 4\omega_p^2}}{2}$	$\omega = \omega_{ci}$
x wave	Both as above	$\omega_{UH}^2 \approx \omega_p^2 + \omega_{ce}^2$ and $\frac{1}{\omega_{LH}^2} \approx \frac{1}{\omega_{pi}^2} + \frac{1}{\omega_{ce}\omega_{ci}}$ for $\omega_{pi} \gg \omega_{ci}$
o wave	$\omega = \omega_p$	None

Pomocí těchto frekvencí a režimů lze ve  $k$  měnit k realnoho na imaginární mluvíme makroskopické disperzní vztahy:

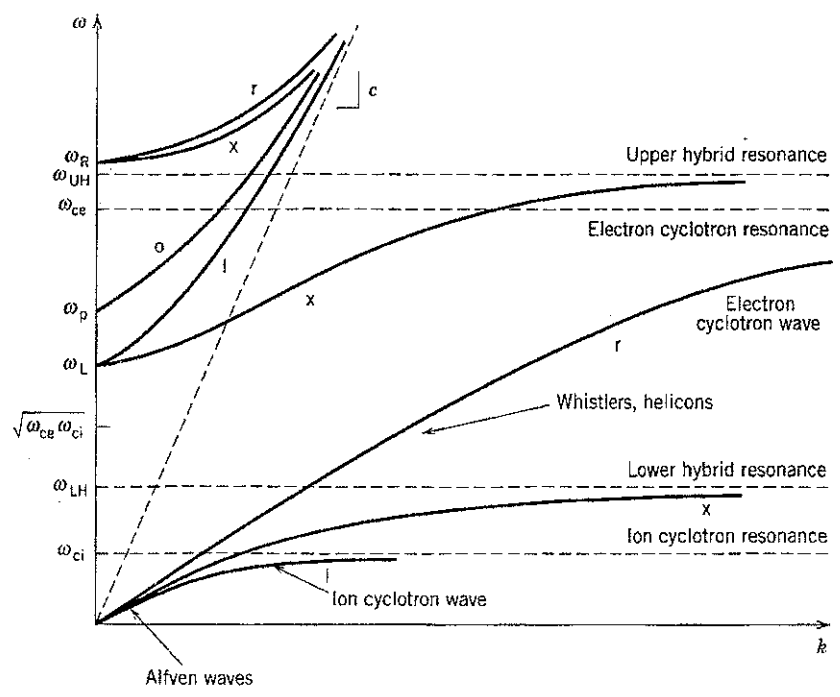


FIGURE 4.10. Dispersion  $\omega$  versus  $k$  for the principal waves in a magnetized plasma with mobile ions.

Ve normální s diagramem pro nehybné ionty se pro  $\uparrow \omega$  nic nemění,  
 ALE oblast  $\downarrow \omega$  je jiná, už je logické.  
 ( $\omega \leq \omega_{pi}$ )

Pro velmi malé  $\omega$ ,  $\omega \ll \omega_{ci}$  je disperze RHP, LHP a x-vlny stejná:

$$k^2 = k_0^2 \left( 1 + \frac{\omega_{pi}^2}{\omega_{ci}^2} \right) \quad k_0 = \frac{\omega}{c}$$

a tato vlna se šíří i pro  $\omega \rightarrow 0$ . Člen v závorce je nízkofrekvenční částí konstanta.

Pro významně vyšší frekvence plazmatu  $\omega_{pi} \gg \omega_{ci} \Rightarrow$

$$k^2 = k_0^2 \frac{\omega_{pi}^2}{\omega_{ci}^2} \quad N_{faz} = \frac{\omega}{k}$$

$$\frac{\omega^2}{N_{faz}^2} = \frac{\omega^2}{c^2} \frac{\omega_{pi}^2}{\omega_{ci}^2}$$

$$N_{faz} = c \cdot \frac{\omega_{ci}}{\omega_{pi}} \equiv N_A$$

Alfvén. rychlost

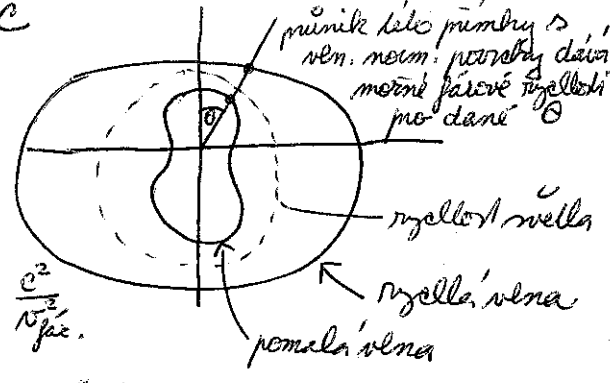
Alfvénovi vlny byly poprvé popsány v neuvěřitelně nízké vlnové délce magnetosféry a krají důležitou roli v ~~plazmatu~~ nízkofrekvenčních, jv. magnet. plazmatu.

2.5.3 CMA diagram : pro obecný úhel šíření  $\theta$  je situace nehybně komplikovanější  
 - vlnové normalizované povrchy ... co to je? = povrch normaliz. fázové rychlosti

normalizace k rychlosti světla  $N_{faz}/c$   
 a jde o polární diagram těchto  $N_{faz}/c$  :  
 typická ukáзка pro dvě šíření  $N^2$  disperzní rovnice

$$aN^4 + bN^2 + e = 0$$

$$N^2 = \frac{k^2}{k_0^2} = \frac{k^2 \cdot c^2}{\omega^2} = \frac{c^2}{N_{faz}^2}$$



Řešení  $\uparrow N^2$  dáva "pomalou" vlnu  
 -||-  $\downarrow N^2$  - "rychlou" vlnu  
 Obzvláště má rychlá vlna fáz. rychlost větší než  $c$  ( $N_{faz} > c$ )  
 a pomalá vlna  $N_{faz} < c$

- CMA (Clemmow - Mullaly - Allis) diagram : kompaktní způsob, jak prezentovat šíření disperzní relace.

Relativní fáz. rychlost  $\frac{N_{faz}}{c} = \frac{\omega}{kc}$  sou vln, jež jsou šířením disper. relace (viz výše)  
 je zakreslena v polárním diagramu jako měřítko, ale pro různé oblosti  $\vec{B}_0$  a  $m_i$ .  
 Na ose y je totiž  $\frac{\omega_{ce}\omega_{ci}}{\omega^2}$  a na ose x  $\frac{\omega_{pi}^2}{\omega^2}$ . Velikosti těchto dvou parametrů tedy rozčlenuje plochu na různé oblosti, které mají jiná schémata vlnové normaliz. povrchy:

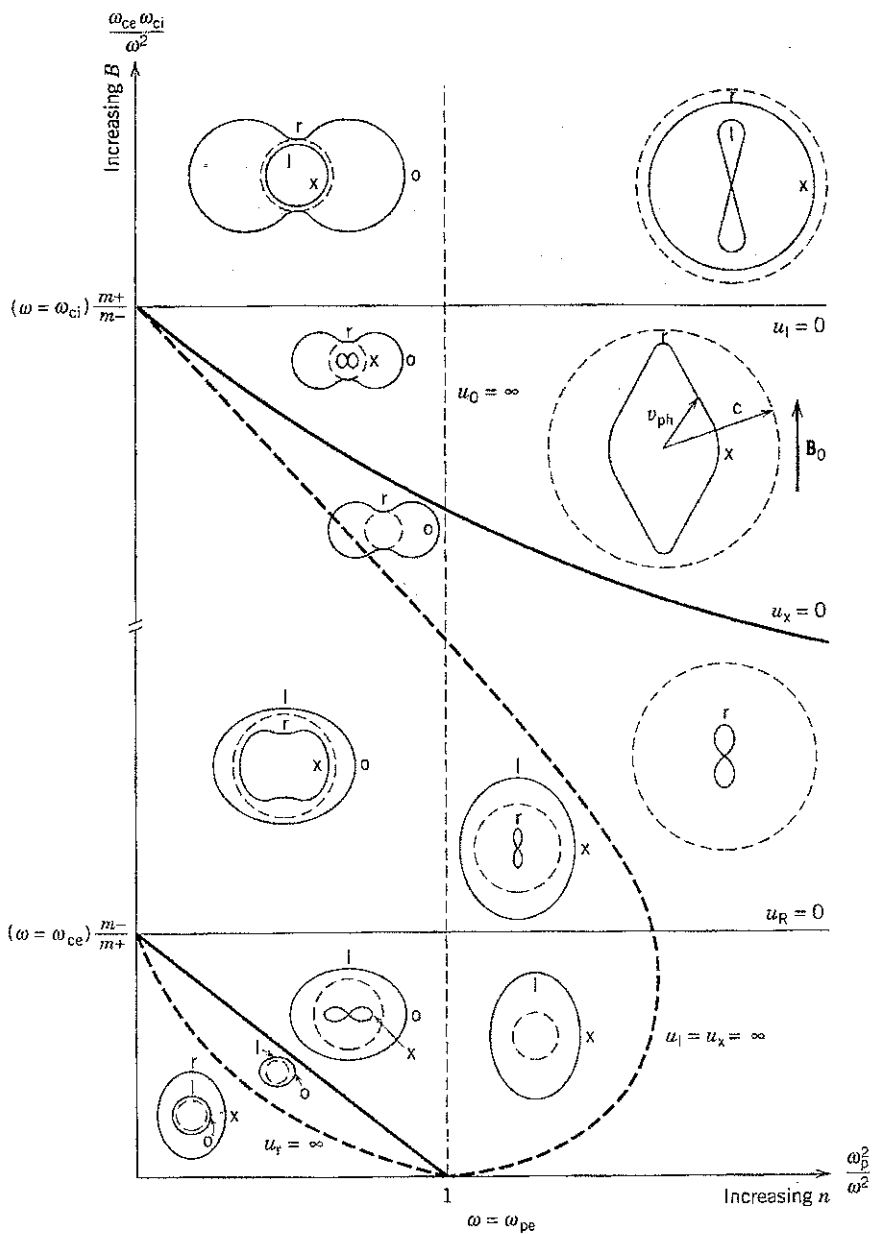


FIGURE 4.11. The CMA diagram for waves in a magnetized plasma. The cutoffs and resonances are indicated by the lines labeled  $u = \infty$  and  $u = 0$ , respectively, where  $u$  denotes the phase velocity and the subscripts label the principal waves (after Allis et al., 1963).

V diagramech vln. mozem.  
 poradiť ju vždy prímerny  
 označeny Alarri ~~postupne~~  
 štruktúru vlny, body  
 $x, l$  pre  $\theta = 0$   
 $\sigma, x$  pre  $\theta = \frac{\pi}{2}$

Ryellord móda je označená  
 čiarovaně - hvíli mériťlas  
 fázové ryellordi.

~~Cutoff~~ cutoff frekvence  
 (odraz vlny) je  
 označený  $u = \infty$

Resonance  $u = 0$

~~opisne mériťlas~~  
~~ryellordi~~